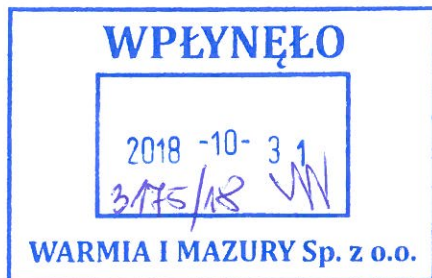




Politechnika Wrocławska

RAPORT





Na prawach rękopisu

Wydział Budownictwa Lądowego i Wodnego
Politechniki Wrocławskiej

**Pomiary nośności na trawiastej części pasa
startowego w Porcie Lotniczym Olsztyn-Mazury**

Raport serii U nr 106/2018

Antoni Szydło
Dariusz Dobrucki

Słowa kluczowe:
sonda dynamiczna,
nośność gruntu,
pas startowy.

Wrocław, październik 2018 r.

Politechnika Wrocławska
Wydział Budownictwa Lądowego i Wodnego
Wybrzeże Wyspiańskiego 27, 50-370 Wrocław
Zakład Dróg i Lotnisk
tel./fax. (71) 320-23-52
e-mail: antoni.szydlo@pwr.edu.pl

Temat badawczy: Pomiary nośności trawiastej części pasa startowego w Porcie Lotniczym Olsztyn - Mazury

Zlecenie nr: U/0180/446 /2018 z dnia 29.09.2018

Zleceniodawca:

Warmia i Mazury Sp. z o.o. z siedzibą w Szymanach nr 150; 12-100 Szczytno.

Zespół badawczy:

prof. dr hab. inż. Antoni Szydło – kierownik
Zakład Dróg i Lotnisk

mgr inż. Dariusz Dobrucki
Zakład Dróg i Lotnisk

inż. Mariusz Świątczak
Zakład Dróg i Lotnisk

Piotr Świątczak
Zakład Dróg i Lotnisk

Podpisy

Kierownik Zakładu
Dróg i Lotnisk

Prof. dr hab. inż. Antoni SZYDŁO

Raport wpłynął do Redakcji Wydawnictw Wydziału Budownictwa Lądowego i Wodnego Politechniki Wrocławskiej w październiku 2018 r.

Lista odbiorców:

Zleceniodawca	2 egz.
Autorzy	2 egz.
Archiwum W-2	1 egz.

Razem 5 egz.

Spis treści

1. Podstawa opracowania	2
2. Cel i zakres	2
3. Opis pasa startowego	2
4. Lokalizacja punktów pomiarowych	2
5. Badania terenowe	4
6. Obliczenie wskaźnika nośności podłoża	5
7. Podsumowanie	9
Literatura	10
Załącznik nr 1. Szczegółowe wyniki badań	11

1. Podstawa opracowania

Opracowanie wykonano na zlecenie Warmia i Mazury Sp. z o.o. z siedzibą w Szymanach nr 150; 12-100 Szczytno.

2. Cel i zakres

Celem opracowania jest określenie nośności gruntu w obrębie pasa startowego na lotnisku w Szymanach (Port Lotniczy Olsztyn-Mazury). W ramach zlecenia wykonano sondowania gruntu przy użyciu sondy dynamicznej stożkowej SDS – ang. Dynamic Cone Penetrometr DCP.

3. Opis pasa startowego

Droga startowa na lotnisku w Szymanach ma długość 2500 m i szerokość 60 m. Orientacyjny przebieg drogi jest na kierunku północ - południe. Na całej długości nawierzchnia drogi startowej jest utwardzona, a jej górne warstwy zostały wykonane z mieszanek mineralno-asfaltowych. Teren przyległy do drogi startowej został wyrównany i przykryty humusem na którym rośnie trawa. Nawierzchnia asfaltowa drogi startowej i wyrównany oraz zagęszczony pas terenu wokół niej tworzą pas startowy.

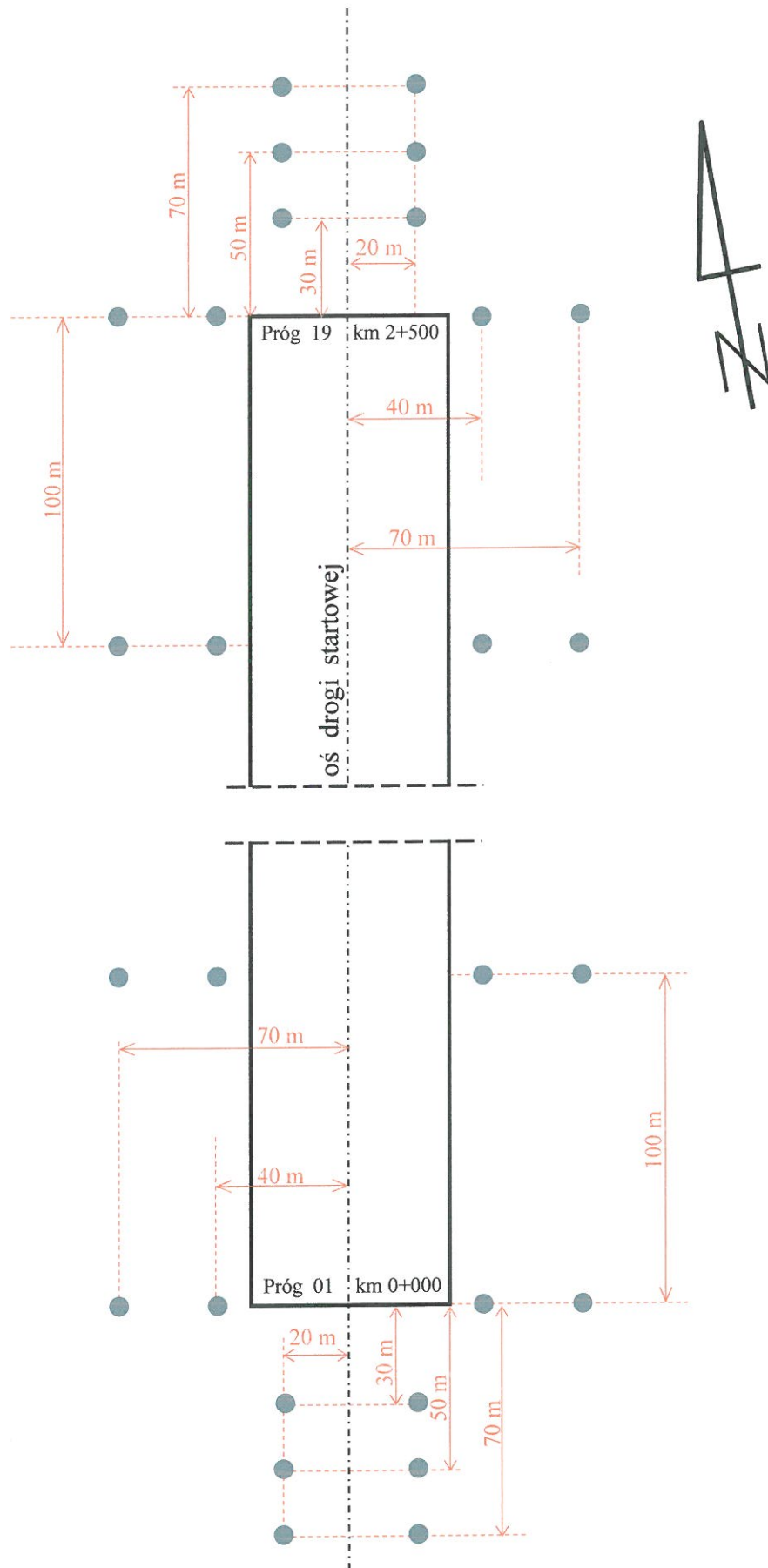
Zgodnie z przeprowadzonymi wcześniej badaniami geologicznymi [1] na pasie startowym lotniska, pod warstwą humusu zalega warstwa gruntu niespoistego w skład którego wchodzi piaski drobne i średnie z domieszką żwiru. Grunty niespoiste zalegają do głębokości 2 ÷ 3 m poniżej poziomu terenu. Zwierciadło wody gruntowej znajduje się około 2,5 m poniżej poziomu terenu.

4. Lokalizacja punktów pomiarowych

Zgodnie z zaleceniami Europejskiej Agencji Bezpieczeństwa Lotniczego [2] pas startowy powinien być tak skonstruowany aby zmniejszyć do minimum zagrożenie wywołane przez różnice w nośności nawierzchni w przypadku, gdy statek powietrzny znajdzie się poza drogą startową. Dla pasa startowego o cyfrze kodu 3 lub 4 sprawdzenie nośności należy wykonać po obu stronach drogi startowej, w odległości 75 m od jej osi oraz na odległości 75 m na przedłużeniach drogi startowej.

Biorąc pod uwagę powyższe zalecenia sondowania gruntu wykonano w 26 przekrojach poprzecznych, rozmieszczonych równomiernie co 100 m wzdłuż całej drogi startowej. W każdym przekroju badanie zostało wykonane w 4 punktach, po dwa z każdej strony drogi. Punkty pomiarowe były zlokalizowane w odległości 40 m i 70 m od osi drogi.

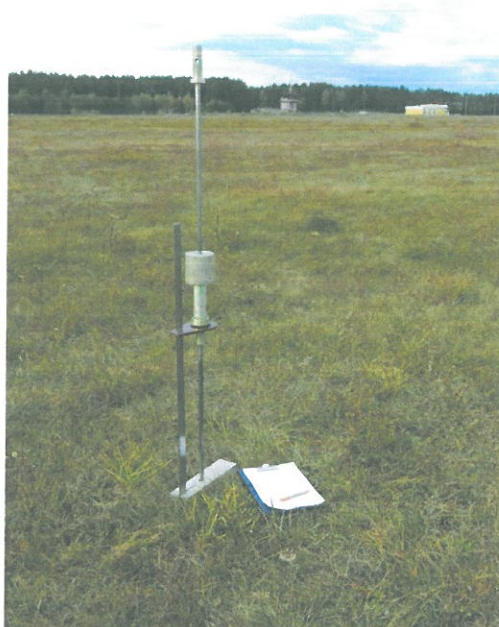
Na każdym z końców drogi startowej wykonano badanie w sześciu dodatkowych punktach. Punkty były oddalone o 30 m , 50 m i 70 m od końca drogi startowej oraz po 20 m od jej osi. Schemat rozmieszczenia punktów pomiarowych w rejonie końców pasa startowego (próg 01 oraz próg 19) pokazano na rysunku nr 1.



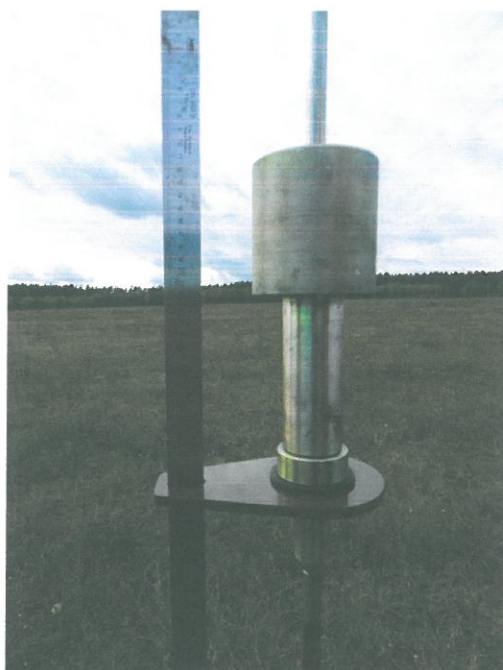
Rys. 1. Schemat rozmieszczenia punktów pomiarowych.

5. Badania terenowe

W dniu 04.10.2018r. wykonano sondowania gruntu przy użyciu sondy dynamicznej stożkowej SDS – ang. Dynamic Cone Penetrometr (DCP). Procedura badania [3] polega na wbijaniu w grunt żerdzi zakończonej stożkiem o kącie nachylenia 60° i średnicy 20 mm. Do wbijania sondy używa się ciężarka o masie 8 kg, który spada z wysokości 575 mm. Sonda jest wyposażona w przymiar liniowy na którym dokonuje się odczytów głębokości penetracji. Ponieważ górna warstwa gruntu, wykonana z humusu, stawiała mały opór dlatego dla pierwszych 6 uderzeń odczyty wykonywano po każdym uderzeniu. Poniżej zalegały warstwy gruntu lepiej zagęszczonego dlatego odczyty wykonywano co 3 uderzenia. Widok sondy pokazano na rysunkach 2 i 3. Szczegółowe wyniki pomiarów znajdują się w załączniku nr 1.



Rys. 2.
Sonda SDS



Rys. 3.
Sonda SDS zbliżenie

6. Obliczenie wskaźnika nośności podłoża

Zależność pomiędzy wynikami według wskazań sondy SDS a kalifornijskim wskaźnikiem nośności CBR wyznaczyli Kleyn i Van Heerden [4] na podstawie zbioru dużej ilości danych. Zależność ta jest obecnie powszechnie używana, a opisuje ją wzór (1):

$$\text{Log}_{10}(\text{CBR}) = 2,632 - 1,28 \text{Log}_{10}(\text{DCP}) \quad (1)$$

gdzie:

CBR – kalifornijski wskaźnik nośności [%]

DCP – zagłębienie sondy przypadające na jedno uderzenie [mm/1 uderzenie]

Zgodnie z zaleceniami Europejskiej Agencji Bezpieczeństwa Lotniczego [2] górna warstwa gruntu o grubości 15 cm może mieć małą nośność, co może ułatwić wyhamowanie statku powietrznego, który zjedzie z drogi startowej. Poniżej 15 cm grunt powinien być przygotowany w taki sposób, aby zapewnić odpowiednią stabilność, potwierdzoną nośnością w postaci wartości kalifornijskiego wskaźnika nośności, który powinien wynosić 15 ÷ 20 %.

Opracowując wyniki przeprowadzonych badań założono, że w każdym z wyznaczonych punktów zostanie obliczony średni wskaźnik nośności CBR dla warstwy gruntu znajdującej się na głębokości 15 ÷ 30 cm. Wyniki obliczeń przedstawiono w tabelach 1 ÷ 4.

Tabela 1.

Kalifornijski wskaźnik nośności gruntu CBR [%] **po zachodniej stronie** pasa startowego.

km	odległość od osi drogi	
	70 m	40 m
2+500	19,5	17,9
2+400	38,3	13,3
2+300	49,2	27,7
2+200	47,4	14,2
2+100	53,7	7,8
2+000	59,7	29,9
1+900	21,5	8,8
1+800	27,8	30,5
1+700	21,6	24,9
1+600	43,4	50,9
1+500	16,9	22,4
1+400	22,2	34,9
1+300	21,5	17,8
1+200	16,0	94,6
1+100	12,0	31,1
1+000	33,7	32,9
0+900	8,7	21,2
0+800	10,2	35,7
0+700	20,9	34,3
0+600	15,1	31,8
0+500	16,2	21,4
0+400	44,3	30,7
0+300	-	-
0+200	19,5	17,0
0+100	54,7	14,4
0+000	32,0	19,8
percentyl 40%	21,3	
percentyl 35%	20,0	
percentyl 30%	19,0	
percentyl 25%	17,2	
percentyl 20%	16,2	
percentyl 15%	14,6	
percentyl 10%	13,2	
percentyl 5%	9,4	
percentyl 2%	8,7	
średnia	28,2	

Tabela 2.
Kalifornijski wskaźnik nośności gruntu CBR [%] **po wschodniej stronie** pasa startowego.

km	odległość od osi drogi	
	70 m	40 m
2+500	46,4	9,3
2+400	16,8	44,7
2+300	24,3	24,8
2+200	23,1	34,4
2+100	10,8	23,7
2+000	-	-
1+900	38,1	17,2
1+800	42,4	29,0
1+700	53,5	36,6
1+600	41,2	10,0
1+500	39,3	32,5
1+400	25,0	52,7
1+300	48,9	15,4
1+200	39,2	18,1
1+100	22,7	10,4
1+000	10,4	22,5
0+900	28,7	18,1
0+800	25,3	34,0
0+700	45,4	10,2
0+600	17,5	28,3
0+500	19,0	13,0
0+400	14,3	12,7
0+300	15,0	11,5
0+200	34,6	11,5
0+100	30,4	16,9
0+000	31,3	37,7
percentyl 40%	21,1	
percentyl 35%	18,1	
percentyl 30%	17,1	
percentyl 25%	15,8	
percentyl 20%	14,0	
percentyl 15%	11,9	
percentyl 10%	10,8	
percentyl 5%	10,3	
percentyl 2%	10,0	
średnia	26,4	

Tabela 3.

Kalifornijski wskaźnik nośności gruntu CBR [%] na przedłużeniach drogi startowej.

Próg	km	odległość od osi drogi	
		20 m (na zachód)	20 m (na wschód)
19 (północny)	2+570	37,1	37,7
	2+550	48,0	40,3
	2+530	52,8	20,2
	percentyl 40%	37,7	
	percentyl 35%	37,6	
	percentyl 30%	37,4	
	percentyl 25%	37,3	
	percentyl 20%	37,1	
	percentyl 15%	32,9	
	percentyl 10%	28,7	
	percentyl 5%	24,4	
	percentyl 2%	21,9	
	średnia	39,4	
01 (południowy)	0-030	43,1	45,7
	0-050	20,6	27,3
	0-070	34,6	15,6
	percentyl 40%	27,3	
	percentyl 35%	25,6	
	percentyl 30%	24,0	
	percentyl 25%	22,3	
	percentyl 20%	20,6	
	percentyl 15%	19,4	
	percentyl 10%	18,1	
	percentyl 5%	16,9	
	percentyl 2%	16,1	
	średnia	31,2	

Tabela 4.

Uśrednione wartości kalifornijskiego wskaźnika nośności gruntu CBR [%]
dla całego badanego terenu.

percentyl 40%	21,5
percentyl 35%	20,1
percentyl 30%	18,1
percentyl 25%	17,0
percentyl 20%	15,7
percentyl 15%	14,3
percentyl 10%	11,6
percentyl 5%	10,2
percentyl 2%	8,9
średnia	28,2

7. Podsumowanie

Na podstawie przeprowadzonych badań i obliczeń można stwierdzić, że na pasie startowym lotniska w Szymanach, średnia wartość wskaźnika nośności gruntu na głębokości 15 ÷ 30 cm wynosi:

- po zachodniej stronie pasa **28,2%**
- po wschodniej stronie pasa **26,4%**
- na przedłużeniu drogi startowej po północnej stronie (za progiem 19) **39,4%**
- na przedłużeniu drogi startowej po południowej stronie (za progiem 01) **31,2%**
- dla całego pasa startowego **28,2%**

Literatura

- [1] Ośko Adam GeoxX Pracownia geologiczna „Dokumentacja badań podłoża gruntowego dla potrzeb projektu budowy portu lotniczego w miejscowości Szymany.” Olsztyn, sierpień 2013r.
- [2] European Aviation Safety Agency „Łatwo dostępne przepisy dla lotnisk. Rozporządzenie (UE) 139/2014.” sierpień 2017r.
- [3] Szkuřat W. ZNWiG „Sonda dynamiczna stożkowa SDS – instrukcja.” Warszawa 1999r.
- [4] Kleyn E.G. , Van Heerden „Usidg DCP soundings to optimise pavement rehabilitation.” Paper submitted for Annual Transportation Convention. Johannesburg, Jul 1983. Report LS/83 Materials Branch, Transvaal Roada Department, Pretoria, South Africa.

ZAŁĄCZNIK NR 1

Szczegółowe wyniki badań

km		0+000		Strona: zachodnia			Odl. od osi DS: 40 m			
Liczba uderzeń	Suma liczby uderzeń	Odczyt [mm]	Penetracja całkowita [mm]	Penetracja pomiędzy odcz. [mm]	Zagłębienie na 1 uderzenie [mm/1uderz.]	Współczynnik 1 dla 8 kg 2 dla 4,6 kg	DCP [-]	CBR [%]	CBR średnie [%]	
0	0	100	0							
1	1	165	65	65	65,0	1	65,0	2,0	19,8	
1	2	208	108	43	43,0	1	43,0	3,5		
1	3	239	139	31	31,0	1	31,0	5,3		
1	4	262	162	23	23,0	1	23,0	7,7		
1	5	277	177	15	15,0	1	15,0	13,4		
1	6	288	188	11	11,0	1	11,0	19,9		
3	9	317	217	29	9,7	1	9,7	23,5		
3	12	343	243	26	8,7	1	8,7	27,0		
3	15	372	272	29	9,7	1	9,7	23,5		
3	18	401	301	29	9,7	1	9,7	23,5		
3	21	430	330	29	9,7	1	9,7	23,5		
3	24	461	361	31	10,3	1	10,3	21,6		
3	27	490	390	29	9,7	1	9,7	23,5		
3	30	512	412	22	7,3	1	7,3	33,5		

km		0+000		Strona: zachodnia			Odl. od osi DS: 70 m			
Liczba uderzeń	Suma liczby uderzeń	Odczyt [mm]	Penetracja całkowita [mm]	Penetracja pomiędzy odcz. [mm]	Zagłębienie na 1 uderzenie [mm/1uderz.]	Współczynnik 1 dla 8 kg 2 dla 4,6 kg	DCP [-]	CBR [%]	CBR średnie [%]	
0	0	104	0							
1	1	192	88	88	88,0	1	88,0	1,4	19,8	
1	2	226	122	34	34,0	1	34,0	4,7		
1	3	258	154	32	32,0	1	32,0	5,1		
1	4	280	176	22	22,0	1	22,0	8,2		
1	5	293	189	13	13,0	1	13,0	16,1	32,0	
1	6	307	203	14	14,0	1	14,0	14,6		
3	9	335	231	28	9,3	1	9,3	24,6		
3	12	355	251	20	6,7	1	6,7	37,8		
3	15	369	265	14	4,7	1	4,7	59,7		
3	18	384	280	15	5,0	1	5,0	54,6		
3	21	403	299	19	6,3	1	6,3	40,4		
3	24	420	316	17	5,7	1	5,7	46,5		
3	27	437	333	17	5,7	1	5,7	46,5		
3	30	481	377	44	14,7	1	14,7	13,8		
3	33	505	401	24	8,0	1	8,0	29,9		

km		0+100		Strona: zachodnia			Odl. od osi DS: 40 m			
Liczba uderzeń	Suma liczby uderzeń	Odczyt [mm]	Penetracja całkowita [mm]	Penetracja pomiędzy odcz. [mm]	Zagłębienie na 1 uderzenie [mm/1uderz.]	Współczynnik 1 dla 8 kg 2 dla 4,6 kg	DCP [-]	CBR [%]	CBR średnie [%]	
0	0	96	0							
1	1	140	44	44	44,0	1	44,0	3,4	19,8	
1	2	166	70	26	26,0	1	26,0	6,6		
1	3	189	93	23	23,0	1	23,0	7,7		
1	4	213	117	24	24,0	1	24,0	7,3		
1	5	234	138	21	21,0	1	21,0	8,7		
1	6	251	155	17	17,0	1	17,0	11,4		
3	9	296	200	45	15,0	1	15,0	13,4	14,4	
3	12	338	242	42	14,0	1	14,0	14,6		
3	15	380	284	42	14,0	1	14,0	14,6		
3	18	421	325	41	13,7	1	13,7	15,1		
3	21	462	366	41	13,7	1	13,7	15,1		
3	24	504	408	42	14,0	1	14,0	14,6		

km	0+100		Strona: zachodnia			Odl. od osi DS: 70 m			
Liczba uderzeń	Suma liczby uderzeń	Odczyt [mm]	Penetracja całkowita [mm]	Penetracja pomiędzy odcz. [mm]	Zagłębienie na 1 uderzenie [mm/1uderz.]	Współczynnik 1 dla 8 kg 2 dla 4,6 kg	DCP [-]	CBR [%]	CBR średnie [%]
0	0	99	0						
1	1	132	33	33	33,0	1	33,0	4,9	
1	2	158	59	26	26,0	1	26,0	6,6	
1	3	181	82	23	23,0	1	23,0	7,7	
1	4	195	96	14	14,0	1	14,0	14,6	
1	5	205	106	10	10,0	1	10,0	22,5	
1	6	214	115	9	9,0	1	9,0	25,7	
3	9	238	139	24	8,0	1	8,0	29,9	
3	12	256	157	18	6,0	1	6,0	43,2	
3	15	272	173	16	5,3	1	5,3	50,3	
3	18	289	190	17	5,7	1	5,7	46,5	
3	21	303	204	14	4,7	1	4,7	59,7	
3	24	317	218	14	4,7	1	4,7	59,7	
3	27	334	235	17	5,7	1	5,7	46,5	
3	30	347	248	13	4,3	1	4,3	65,6	
3	33	362	263	15	5,0	1	5,0	54,6	
3	36	378	279	16	5,3	1	5,3	50,3	
3	39	393	294	15	5,0	1	5,0	54,6	
3	42	407	308	14	4,7	1	4,7	59,7	
3	45	424	325	17	5,7	1	5,7	46,5	
3	48	441	342	17	5,7	1	5,7	46,5	
3	51	457	358	16	5,3	1	5,3	50,3	
3	54	476	377	19	6,3	1	6,3	40,4	
3	57	496	397	20	6,7	1	6,7	37,8	
									54,7

km	0+200		Strona: zachodnia			Odl. od osi DS: 40 m			
Liczba uderzeń	Suma liczby uderzeń	Odczyt [mm]	Penetracja całkowita [mm]	Penetracja pomiędzy odcz. [mm]	Zagłębienie na 1 uderzenie [mm/1uderz.]	Współczynnik 1 dla 8 kg 2 dla 4,6 kg	DCP [-]	CBR [%]	CBR średnie [%]
0	0	92	0						
1	1	137	45	45	45,0	1	45,0	3,3	
1	2	176	84	39	39,0	1	39,0	3,9	
1	3	211	119	35	35,0	1	35,0	4,5	
1	4	233	141	22	22,0	1	22,0	8,2	
1	5	269	177	36	36,0	1	36,0	4,4	
1	6	284	192	15	15,0	1	15,0	13,4	
3	9	332	240	48	16,0	1	16,0	12,3	
3	12	355	263	23	7,7	1	7,7	31,6	
3	15	384	292	29	9,7	1	9,7	23,5	
3	18	414	322	30	10,0	1	10,0	22,5	
3	21	446	354	32	10,7	1	10,7	20,7	
3	24	471	379	25	8,3	1	8,3	28,4	
3	27	496	404	25	8,3	1	8,3	28,4	
									17,0

km	0+200		Strona: zachodnia			Odl. od osi DS: 70 m			
Liczba uderzeń	Suma liczby uderzeń	Odczyt [mm]	Penetracja całkowita [mm]	Penetracja pomiędzy odcz. [mm]	Zagłębienie na 1 uderzenie [mm/1uderz.]	Współczynnik 1 dla 8 kg 2 dla 4,6 kg	DCP [-]	CBR [%]	CBR średnie [%]
0	0	96	0						
1	1	148	52	52	52,0	1	52,0	2,7	
1	2	175	79	27	27,0	1	27,0	6,3	
1	3	194	98	19	19,0	1	19,0	9,9	
1	4	208	112	14	14,0	1	14,0	14,6	
1	5	222	126	14	14,0	1	14,0	14,6	
1	6	235	139	13	13,0	1	13,0	16,1	
3	9	272	176	37	12,3	1	12,3	17,2	
3	12	309	213	37	12,3	1	12,3	17,2	
3	15	346	250	37	12,3	1	12,3	17,2	
3	18	377	281	31	10,3	1	10,3	21,6	
3	21	405	309	28	9,3	1	9,3	24,6	
3	24	432	336	27	9,0	1	9,0	25,7	
3	27	470	374	38	12,7	1	12,7	16,6	
3	30	507	411	37	12,3	1	12,3	17,2	
									19,5

km 0+400		Strona: zachodnia				Odl. od osi DS: 40 m			
Liczba uderzeń	Suma liczby uderzeń	Odczyt [mm]	Penetracja całkowita [mm]	Penetracja pomiędzy odcz. [mm]	Zagłębienie na 1 uderzenie [mm/1uderz.]	Współczynnik 1 dla 8 kg 2 dla 4,6 kg	DCP [-]	CBR [%]	CBR średnie [%]
0	0	122	0						
1	1	168	46	46	46,0	1	46,0	3,2	
1	2	195	73	27	27,0	1	27,0	6,3	
1	3	217	95	22	22,0	1	22,0	8,2	
1	4	239	117	22	22,0	1	22,0	8,2	
1	5	258	136	19	19,0	1	19,0	9,9	
1	6	271	149	13	13,0	1	13,0	16,1	
3	9	295	173	24	8,0	1	8,0	29,9	
3	12	317	195	22	7,3	1	7,3	33,5	
3	15	338	216	21	7,0	1	7,0	35,5	
3	18	361	239	23	7,7	1	7,7	31,6	
3	21	385	263	24	8,0	1	8,0	29,9	
3	24	409	287	24	8,0	1	8,0	29,9	
3	27	437	315	28	9,3	1	9,3	24,6	
3	30	471	349	34	11,3	1	11,3	19,2	
3	33	510	388	39	13,0	1	13,0	16,1	
									30,7

km 0+400		Strona: zachodnia				Odl. od osi DS: 70 m			
Liczba uderzeń	Suma liczby uderzeń	Odczyt [mm]	Penetracja całkowita [mm]	Penetracja pomiędzy odcz. [mm]	Zagłębienie na 1 uderzenie [mm/1uderz.]	Współczynnik 1 dla 8 kg 2 dla 4,6 kg	DCP [-]	CBR [%]	CBR średnie [%]
0	0	105	0						
1	1	161	56	56	56,0	1	56,0	2,5	
1	2	192	87	31	31,0	1	31,0	5,3	
1	3	206	101	14	14,0	1	14,0	14,6	
1	4	217	112	11	11,0	1	11,0	19,9	
1	5	229	124	12	12,0	1	12,0	17,8	
1	6	238	133	9	9,0	1	9,0	25,7	
3	9	265	160	27	9,0	1	9,0	25,7	
3	12	295	190	30	10,0	1	10,0	22,5	
3	15	320	215	25	8,3	1	8,3	28,4	
3	18	339	234	19	6,3	1	6,3	40,4	
3	21	354	249	15	5,0	1	5,0	54,6	
3	24	367	262	13	4,3	1	4,3	65,6	
3	27	382	277	15	5,0	1	5,0	54,6	
3	30	382	277						
3	33	opór							
									44,3

km 0+500		Strona: zachodnia				Odl. od osi DS: 40 m			
Liczba uderzeń	Suma liczby uderzeń	Odczyt [mm]	Penetracja całkowita [mm]	Penetracja pomiędzy odcz. [mm]	Zagłębienie na 1 uderzenie [mm/1uderz.]	Współczynnik 1 dla 8 kg 2 dla 4,6 kg	DCP [-]	CBR [%]	CBR średnie [%]
0	0	104	0						
1	1	161	57	57	57,0	1	57,0	2,4	
1	2	191	87	30	30,0	1	30,0	5,5	
1	3	217	113	26	26,0	1	26,0	6,6	
1	4	234	130	17	17,0	1	17,0	11,4	
1	5	249	145	15	15,0	1	15,0	13,4	
1	6	266	162	17	17,0	1	17,0	11,4	
3	9	311	207	45	15,0	1	15,0	13,4	
3	12	342	238	31	10,3	1	10,3	21,6	
3	15	364	260	22	7,3	1	7,3	33,5	
3	18	390	286	26	8,7	1	8,7	27,0	
3	21	424	320	34	11,3	1	11,3	19,2	
3	24	456	352	32	10,7	1	10,7	20,7	
3	27	478	374	22	7,3	1	7,3	33,5	
3	30	498	394	20	6,7	1	6,7	37,8	
									21,4

km 0+500		Strona: zachodnia				Odl. od osi DS: 70 m			
Liczba uderzeń	Suma liczby uderzeń	Odczyt [mm]	Penetracja całkowita [mm]	Penetracja pomiędzy odcz. [mm]	Zagłębienie na 1 uderzenie [mm/1uderz.]	Współczynnik 1 dla 8 kg 2 dla 4,6 kg	DCP [-]	CBR [%]	CBR średnie [%]
0	0	109	0						
1	1	173	64	64	64,0	1	64,0	2,1	
1	2	198	89	25	25,0	1	25,0	7,0	
1	3	215	106	17	17,0	1	17,0	11,4	
1	4	228	119	13	13,0	1	13,0	16,1	
1	5	246	137	18	18,0	1	18,0	10,6	
1	6	262	153	16	16,0	1	16,0	12,3	
3	9	312	203	50	16,7	1	16,7	11,7	
3	12	352	243	40	13,3	1	13,3	15,6	16,2
3	15	387	278	35	11,7	1	11,7	18,5	
3	18	421	312	34	11,3	1	11,3	19,2	
3	21	453	344	32	10,7	1	10,7	20,7	
3	24	490	381	37	12,3	1	12,3	17,2	
3	27	519	410	29	9,7	1	9,7	23,5	

km 0+600		Strona: zachodnia				Odl. od osi DS: 40 m			
Liczba uderzeń	Suma liczby uderzeń	Odczyt [mm]	Penetracja całkowita [mm]	Penetracja pomiędzy odcz. [mm]	Zagłębienie na 1 uderzenie [mm/1uderz.]	Współczynnik 1 dla 8 kg 2 dla 4,6 kg	DCP [-]	CBR [%]	CBR średnie [%]
0	0	107	0						
1	1	155	48	48	48,0	1	48,0	3,0	
1	2	186	79	31	31,0	1	31,0	5,3	
1	3	210	103	24	24,0	1	24,0	7,3	
1	4	227	120	17	17,0	1	17,0	11,4	
1	5	243	136	16	16,0	1	16,0	12,3	
1	6	256	149	13	13,0	1	13,0	16,1	
3	9	290	183	34	11,3	1	11,3	19,2	
3	12	318	211	28	9,3	1	9,3	24,6	31,8
3	15	345	238	27	9,0	1	9,0	25,7	
3	18	364	257	19	6,3	1	6,3	40,4	
3	21	382	275	18	6,0	1	6,0	43,2	
3	24	402	295	20	6,7	1	6,7	37,8	
3	27	427	320	25	8,3	1	8,3	28,4	
3	30	451	344	24	8,0	1	8,0	29,9	
3	33	479	372	28	9,3	1	9,3	24,6	
3	36	503	396	24	8,0	1	8,0	29,9	

km 0+600		Strona: zachodnia				Odl. od osi DS: 70 m			
Liczba uderzeń	Suma liczby uderzeń	Odczyt [mm]	Penetracja całkowita [mm]	Penetracja pomiędzy odcz. [mm]	Zagłębienie na 1 uderzenie [mm/1uderz.]	Współczynnik 1 dla 8 kg 2 dla 4,6 kg	DCP [-]	CBR [%]	CBR średnie [%]
0	0	114	0						
1	1	177	63	63	63,0	1	63,0	2,1	
1	2	206	92	29	29,0	1	29,0	5,8	
1	3	228	114	22	22,0	1	22,0	8,2	
1	4	240	126	12	12,0	1	12,0	17,8	
1	5	268	154	28	28,0	1	28,0	6,0	
1	6	281	167	13	13,0	1	13,0	16,1	
3	9	318	204	37	12,3	1	12,3	17,2	15,1
3	12	364	250	46	15,3	1	15,3	13,0	
3	15	407	293	43	14,3	1	14,3	14,2	
3	18	444	330	37	12,3	1	12,3	17,2	
3	21	481	367	37	12,3	1	12,3	17,2	
3	24	521	407	40	13,3	1	13,3	15,6	

km	0+700		Strona: zachodnia			Odl. od osi DS: 40 m			
Liczba uderzeń	Suma liczby uderzeń	Odczyt [mm]	Penetracja całkowita [mm]	Penetracja pomiędzy odcz. [mm]	Zagłębienie na 1 uderzenie [mm/1uderz.]	Współczynnik 1 dla 8 kg 2 dla 4,6 kg	DCP [-]	CBR [%]	CBR średnie [%]
0	0	104	0						
1	1	149	45	45	45,0	1	45,0	3,3	
1	2	175	71	26	26,0	1	26,0	6,6	
1	3	196	92	21	21,0	1	21,0	8,7	
1	4	214	110	18	18,0	1	18,0	10,6	
1	5	237	133	23	23,0	1	23,0	7,7	
1	6	253	149	16	16,0	1	16,0	12,3	
3	9	288	184	35	11,7	1	11,7	18,5	
3	12	313	209	25	8,3	1	8,3	28,4	
3	15	336	232	23	7,7	1	7,7	31,6	
3	18	355	251	19	6,3	1	6,3	40,4	
3	21	374	270	19	6,3	1	6,3	40,4	
3	24	393	289	19	6,3	1	6,3	40,4	
3	27	412	308	19	6,3	1	6,3	40,4	
3	30	431	327	19	6,3	1	6,3	40,4	
3	33	452	348	21	7,0	1	7,0	35,5	
3	36	474	370	22	7,3	1	7,3	33,5	
3	39	497	393	23	7,7	1	7,7	31,6	
									34,3

km	0+700		Strona: zachodnia			Odl. od osi DS: 70 m			
Liczba uderzeń	Suma liczby uderzeń	Odczyt [mm]	Penetracja całkowita [mm]	Penetracja pomiędzy odcz. [mm]	Zagłębienie na 1 uderzenie [mm/1uderz.]	Współczynnik 1 dla 8 kg 2 dla 4,6 kg	DCP [-]	CBR [%]	CBR średnie [%]
0	0	103	0						
1	1	164	61	61	61,0	1	61,0	2,2	
1	2	185	82	21	21,0	1	21,0	8,7	
1	3	202	99	17	17,0	1	17,0	11,4	
1	4	214	111	12	12,0	1	12,0	17,8	
1	5	226	123	12	12,0	1	12,0	17,8	
1	6	236	133	10	10,0	1	10,0	22,5	
3	9	273	170	37	12,3	1	12,3	17,2	
3	12	312	209	39	13,0	1	13,0	16,1	
3	15	346	243	34	11,3	1	11,3	19,2	
3	18	375	272	29	9,7	1	9,7	23,5	
3	21	400	297	25	8,3	1	8,3	28,4	
3	24	424	321	24	8,0	1	8,0	29,9	
3	27	449	346	25	8,3	1	8,3	28,4	
3	30	478	375	29	9,7	1	9,7	23,5	
3	33	509	406	31	10,3	1	10,3	21,6	
									20,9

km	0+800		Strona: zachodnia			Odl. od osi DS: 40 m			
Liczba uderzeń	Suma liczby uderzeń	Odczyt [mm]	Penetracja całkowita [mm]	Penetracja pomiędzy odcz. [mm]	Zagłębienie na 1 uderzenie [mm/1uderz.]	Współczynnik 1 dla 8 kg 2 dla 4,6 kg	DCP [-]	CBR [%]	CBR średnie [%]
0	0	98	0						
1	1	168	70	70	70,0	1	70,0	1,9	
1	2	202	104	34	34,0	1	34,0	4,7	
1	3	221	123	19	19,0	1	19,0	9,9	
1	4	233	135	12	12,0	1	12,0	17,8	
1	5	243	145	10	10,0	1	10,0	22,5	
1	6	252	154	9	9,0	1	9,0	25,7	
3	9	276	178	24	8,0	1	8,0	29,9	
3	12	298	200	22	7,3	1	7,3	33,5	
3	15	322	224	24	8,0	1	8,0	29,9	
3	18	343	245	21	7,0	1	7,0	35,5	
3	21	362	264	19	6,3	1	6,3	40,4	
3	24	380	282	18	6,0	1	6,0	43,2	
3	27	400	302	20	6,7	1	6,7	37,8	
3	30	419	321	19	6,3	1	6,3	40,4	
3	33	437	339	18	6,0	1	6,0	43,2	
3	36	456	358	19	6,3	1	6,3	40,4	
3	39	472	374	16	5,3	1	5,3	50,3	
3	42	491	393	19	6,3	1	6,3	40,4	
3	45	513	415	22	7,3	1	7,3	33,5	
									35,7

km		0+800		Strona: zachodnia			Odl. od osi DS: 70 m			
Liczba uderzeń	Suma liczby uderzeń	Odczyt [mm]	Penetracja całkowita [mm]	Penetracja pomiędzy odcz. [mm]	Zagłębienie na 1 uderzenie [mm/1uderz.]	Współczynnik 1 dla 8 kg 2 dla 4,6 kg	DCP [-]	CBR [%]	CBR średnie [%]	
0	0	98	0							
1	1	168	70	70	70,0	1	70,0	1,9		
1	2	201	103	33	33,0	1	33,0	4,9		
1	3	227	129	26	26,0	1	26,0	6,6		
1	4	250	152	23	23,0	1	23,0	7,7		
1	5	272	174	22	22,0	1	22,0	8,2		
1	6	293	195	21	21,0	1	21,0	8,7		
3	9	347	249	54	18,0	1	18,0	10,6		
3	12	392	294	45	15,0	1	15,0	13,4	10,2	
3	15	426	328	34	11,3	1	11,3	19,2		
3	18	456	358	30	10,0	1	10,0	22,5		
3	21	487	389	31	10,3	1	10,3	21,6		
3	24	515	417	28	9,3	1	9,3	24,6		

km		0+900		Strona: zachodnia			Odl. od osi DS: 40 m			
Liczba uderzeń	Suma liczby uderzeń	Odczyt [mm]	Penetracja całkowita [mm]	Penetracja pomiędzy odcz. [mm]	Zagłębienie na 1 uderzenie [mm/1uderz.]	Współczynnik 1 dla 8 kg 2 dla 4,6 kg	DCP [-]	CBR [%]	CBR średnie [%]	
0	0	97	0							
1	1	151	54	54	54,0	1	54,0	2,6		
1	2	176	79	25	25,0	1	25,0	7,0		
1	3	189	92	13	13,0	1	13,0	16,1		
1	4	203	106	14	14,0	1	14,0	14,6		
1	5	217	120	14	14,0	1	14,0	14,6		
1	6	232	135	15	15,0	1	15,0	13,4		
3	9	265	168	33	11,0	1	11,0	19,9		
3	12	290	193	25	8,3	1	8,3	28,4		
3	15	324	227	34	11,3	1	11,3	19,2		
3	18	370	273	46	15,3	1	15,3	13,0	21,2	
3	21	397	300	27	9,0	1	9,0	25,7		
3	24	420	323	23	7,7	1	7,7	31,6		
3	27	439	342	19	6,3	1	6,3	40,4		
3	30	460	363	21	7,0	1	7,0	35,5		
3	33	478	381	18	6,0	1	6,0	43,2		
3	36	498	401	20	6,7	1	6,7	37,8		
3	39	515	418	17	5,7	1	5,7	46,5		

km		0+900		Strona: zachodnia			Odl. od osi DS: 70 m			
Liczba uderzeń	Suma liczby uderzeń	Odczyt [mm]	Penetracja całkowita [mm]	Penetracja pomiędzy odcz. [mm]	Zagłębienie na 1 uderzenie [mm/1uderz.]	Współczynnik 1 dla 8 kg 2 dla 4,6 kg	DCP [-]	CBR [%]	CBR średnie [%]	
0	0	110	0							
1	1	171	61	61	61,0	1	61,0	2,2		
1	2	213	103	42	42,0	1	42,0	3,6		
1	3	245	135	32	32,0	1	32,0	5,1		
1	4	274	164	29	29,0	1	29,0	5,8		
1	5	299	189	25	25,0	1	25,0	7,0		
1	6	320	210	21	21,0	1	21,0	8,7		
3	9	376	266	56	18,7	1	18,7	10,1		
3	12	425	315	49	16,3	1	16,3	12,0		
3	15	468	358	43	14,3	1	14,3	14,2		
3	18	511	401	43	14,3	1	14,3	14,2	8,7	

km	1+000	Strona: zachodnia				Odl. od osi DS: 40 m				
Liczba uderzeń	Suma liczby uderzeń	Odczyt [mm]	Penetracja całkowita [mm]	Penetracja pomiędzy odcz. [mm]	Zagłębienie na 1 uderzenie [mm/1uderz.]	Współczynnik 1 dla 8 kg 2 dla 4,6 kg	DCP [-]	CBR [%]	CBR średnie [%]	
0	0	104	0							
1	1	170	66	66	66,0	1	66,0	2,0		
1	2	213	109	43	43,0	1	43,0	3,5		
1	3	241	137	28	28,0	1	28,0	6,0		
1	4	258	154	17	17,0	1	17,0	11,4		
1	5	276	172	18	18,0	1	18,0	10,6		
1	6	288	184	12	12,0	1	12,0	17,8		
3	9	314	210	26	8,7	1	8,7	27,0		
3	12	335	231	21	7,0	1	7,0	35,5	32,9	
3	15	354	250	19	6,3	1	6,3	40,4		
3	18	373	269	19	6,3	1	6,3	40,4		
3	21	387	283	14	4,7	1	4,7	59,7		
3	24	410	306	23	7,7	1	7,7	31,6		
3	27	432	328	22	7,3	1	7,3	33,5		
3	30	452	348	20	6,7	1	6,7	37,8		
3	33	468	364	16	5,3	1	5,3	50,3		
3	36	480	376	12	4,0	1	4,0	72,7		

km	1+000	Strona: zachodnia				Odl. od osi DS: 70 m				
Liczba uderzeń	Suma liczby uderzeń	Odczyt [mm]	Penetracja całkowita [mm]	Penetracja pomiędzy odcz. [mm]	Zagłębienie na 1 uderzenie [mm/1uderz.]	Współczynnik 1 dla 8 kg 2 dla 4,6 kg	DCP [-]	CBR [%]	CBR średnie [%]	
0	0	103	0							
1	1	158	55	55	55,0	1	55,0	2,5		
1	2	189	86	31	31,0	1	31,0	5,3		
1	3	207	104	18	18,0	1	18,0	10,6		
1	4	222	119	15	15,0	1	15,0	13,4		
1	5	236	133	14	14,0	1	14,0	14,6		
1	6	247	144	11	11,0	1	11,0	19,9		
3	9	282	179	35	11,7	1	11,7	18,5		
3	12	316	213	34	11,3	1	11,3	19,2	33,7	
3	15	345	242	29	9,7	1	9,7	23,5		
3	18	371	268	26	8,7	1	8,7	27,0		
3	21	386	283	15	5,0	1	5,0	54,6		
3	24	400	297	14	4,7	1	4,7	59,7		
3	27	413	310	13	4,3	1	4,3	65,6		
3	30	431	328	18	6,0	1	6,0	43,2		
3	33	448	345	17	5,7	1	5,7	46,5		
3	36	465	362	17	5,7	1	5,7	46,5		
3	39	481	378	16	5,3	1	5,3	50,3		
3	42	495	392	14	4,7	1	4,7	59,7		

km	1+100	Strona: zachodnia				Odl. od osi DS: 40 m				
Liczba uderzeń	Suma liczby uderzeń	Odczyt [mm]	Penetracja całkowita [mm]	Penetracja pomiędzy odcz. [mm]	Zagłębienie na 1 uderzenie [mm/1uderz.]	Współczynnik 1 dla 8 kg 2 dla 4,6 kg	DCP [-]	CBR [%]	CBR średnie [%]	
0	0	104	0							
1	1	194	90	90	90,0	1	90,0	1,4		
1	2	216	112	22	22,0	1	22,0	8,2		
1	3	229	125	13	13,0	1	13,0	16,1		
1	4	242	138	13	13,0	1	13,0	16,1		
1	5	254	150	12	12,0	1	12,0	17,8		
1	6	265	161	11	11,0	1	11,0	19,9		
3	9	295	191	30	10,0	1	10,0	22,5		
3	12	318	214	23	7,7	1	7,7	31,6		
3	15	342	238	24	8,0	1	8,0	29,9	31,1	
3	18	364	260	22	7,3	1	7,3	33,5		
3	21	386	282	22	7,3	1	7,3	33,5		
3	24	403	299	17	5,7	1	5,7	46,5		
3	27	421	317	18	6,0	1	6,0	43,2		
3	30	435	331	14	4,7	1	4,7	59,7		
3	33	450	346	15	5,0	1	5,0	54,6		
3	36	466	362	16	5,3	1	5,3	50,3		
3	39	478	374	12	4,0	1	4,0	72,7		
3	42	486	382	8	2,7	1	2,7	122,1		

km	1+100		Strona: zachodnia			Odl. od osi DS: 70 m			
Liczba uderzeń	Suma liczby uderzeń	Odczyt [mm]	Penetracja całkowita [mm]	Penetracja pomiędzy odcz. [mm]	Zagłębienie na 1 uderzenie [mm/1uderz.]	Współczynnik 1 dla 8 kg 2 dla 4,6 kg	DCP [-]	CBR [%]	CBR średnie [%]
0	0	123	0						
1	1	185	62	62	62,0	1	62,0	2,2	
1	2	207	84	22	22,0	1	22,0	8,2	
1	3	223	100	16	16,0	1	16,0	12,3	
1	4	240	117	17	17,0	1	17,0	11,4	
1	5	256	133	16	16,0	1	16,0	12,3	
1	6	273	150	17	17,0	1	17,0	11,4	
3	9	327	204	54	18,0	1	18,0	10,6	
3	12	382	259	55	18,3	1	18,3	10,4	12,0
3	15	423	300	41	13,7	1	13,7	15,1	
3	18	454	331	31	10,3	1	10,3	21,6	
3	21	481	358	27	9,0	1	9,0	25,7	
3	24	502	379	21	7,0	1	7,0	35,5	

km	1+200		Strona: zachodnia			Odl. od osi DS: 40 m			
Liczba uderzeń	Suma liczby uderzeń	Odczyt [mm]	Penetracja całkowita [mm]	Penetracja pomiędzy odcz. [mm]	Zagłębienie na 1 uderzenie [mm/1uderz.]	Współczynnik 1 dla 8 kg 2 dla 4,6 kg	DCP [-]	CBR [%]	CBR średnie [%]
0	0	97	0						
1	1	135	38	38	38,0	1	38,0	4,1	
1	2	149	52	14	14,0	1	14,0	14,6	
1	3	167	70	18	18,0	1	18,0	10,6	
1	4	185	88	18	18,0	1	18,0	10,6	
1	5	202	105	17	17,0	1	17,0	11,4	
1	6	216	119	14	14,0	1	14,0	14,6	
3	9	240	143	24	8,0	1	8,0	29,9	
3	12	273	176	33	11,0	1	11,0	19,9	
3	15	289	192	16	5,3	1	5,3	50,3	
3	18	303	206	14	4,7	1	4,7	59,7	
3	21	316	219	13	4,3	1	4,3	65,6	
3	24	328	231	12	4,0	1	4,0	72,7	
3	27	338	241	10	3,3	1	3,3	91,8	
3	30	346	249	8	2,7	1	2,7	122,1	
3	33	352	255	6	2,0	1	2,0	176,5	
3	36	361	264	9	3,0	1	3,0	105,0	
3	39	369	272	8	2,7	1	2,7	122,1	
3	42	376	279	7	2,3	1	2,3	144,9	
3	45	385	288	9	3,0	1	3,0	105,0	
3	48	395	298	10	3,3	1	3,3	91,8	
3	51	406	309	11	3,7	1	3,7	81,2	
3	54	415	318	9	3,0	1	3,0	105,0	
3	57	426	329	11	3,7	1	3,7	81,2	
3	60	437	340	11	3,7	1	3,7	81,2	94,6

km	1+200		Strona: zachodnia			Odl. od osi DS: 70 m			
Liczba uderzeń	Suma liczby uderzeń	Odczyt [mm]	Penetracja całkowita [mm]	Penetracja pomiędzy odcz. [mm]	Zagłębienie na 1 uderzenie [mm/1uderz.]	Współczynnik 1 dla 8 kg 2 dla 4,6 kg	DCP [-]	CBR [%]	CBR średnie [%]
0	0	107	0						
1	1	191	84	84	84,0	1	84,0	1,5	
1	2	213	106	22	22,0	1	22,0	8,2	
1	3	235	128	22	22,0	1	22,0	8,2	
1	4	261	154	26	26,0	1	26,0	6,6	
1	5	283	176	22	22,0	1	22,0	8,2	
1	6	301	194	18	18,0	1	18,0	10,6	
3	9	332	225	31	10,3	1	10,3	21,6	
3	12	360	253	28	9,3	1	9,3	24,6	
3	15	401	294	41	13,7	1	13,7	15,1	
3	18	444	337	43	14,3	1	14,3	14,2	
3	21	486	379	42	14,0	1	14,0	14,6	
3	24	535	428	49	16,3	1	16,3	12,0	16,0

km 1+300		Strona: zachodnia				Odl. od osi DS: 40 m			
Liczba uderzeń	Suma liczby uderzeń	Odczyt [mm]	Penetracja całkowita [mm]	Penetracja pomiędzy odcz. [mm]	Zagłębienie na 1 uderzenie [mm/1uderz.]	Współczynnik 1 dla 8 kg 2 dla 4,6 kg	DCP [-]	CBR [%]	CBR średnie [%]
0	0	105	0						
1	1	207	102	102	102,0	1	102,0	1,2	
1	2	261	156	54	54,0	1	54,0	2,6	
1	3	291	186	30	30,0	1	30,0	5,5	
1	4	307	202	16	16,0	1	16,0	12,3	
1	5	318	213	11	11,0	1	11,0	19,9	
1	6	328	223	10	10,0	1	10,0	22,5	
3	9	356	251	28	9,3	1	9,3	24,6	
3	12	384	279	28	9,3	1	9,3	24,6	
3	15	424	319	40	13,3	1	13,3	15,6	
3	18	471	366	47	15,7	1	15,7	12,7	
3	21	503	398	32	10,7	1	10,7	20,7	
									17,8

km 1+300		Strona: zachodnia				Odl. od osi DS: 70 m			
Liczba uderzeń	Suma liczby uderzeń	Odczyt [mm]	Penetracja całkowita [mm]	Penetracja pomiędzy odcz. [mm]	Zagłębienie na 1 uderzenie [mm/1uderz.]	Współczynnik 1 dla 8 kg 2 dla 4,6 kg	DCP [-]	CBR [%]	CBR średnie [%]
0	0	106	0						
1	1	177	71	71	71,0	1	71,0	1,8	
1	2	203	97	26	26,0	1	26,0	6,6	
1	3	222	116	19	19,0	1	19,0	9,9	
1	4	239	133	17	17,0	1	17,0	11,4	
1	5	254	148	15	15,0	1	15,0	13,4	
1	6	267	161	13	13,0	1	13,0	16,1	
3	9	303	197	36	12,0	1	12,0	17,8	
3	12	331	225	28	9,3	1	9,3	24,6	
3	15	361	255	30	10,0	1	10,0	22,5	
3	18	390	284	29	9,7	1	9,7	23,5	
3	21	418	312	28	9,3	1	9,3	24,6	
3	24	447	341	29	9,7	1	9,7	23,5	
3	27	471	365	24	8,0	1	8,0	29,9	
3	30	491	385	20	6,7	1	6,7	37,8	
3	33	507	401	16	5,3	1	5,3	50,3	
									21,5

km 1+400		Strona: zachodnia				Odl. od osi DS: 40 m			
Liczba uderzeń	Suma liczby uderzeń	Odczyt [mm]	Penetracja całkowita [mm]	Penetracja pomiędzy odcz. [mm]	Zagłębienie na 1 uderzenie [mm/1uderz.]	Współczynnik 1 dla 8 kg 2 dla 4,6 kg	DCP [-]	CBR [%]	CBR średnie [%]
0	0	106	0						
1	1	151	45	45	45,0	1	45,0	3,3	
1	2	182	76	31	31,0	1	31,0	5,3	
1	3	201	95	19	19,0	1	19,0	9,9	
1	4	216	110	15	15,0	1	15,0	13,4	
1	5	232	126	16	16,0	1	16,0	12,3	
1	6	245	139	13	13,0	1	13,0	16,1	
3	9	290	184	45	15,0	1	15,0	13,4	
3	12	322	216	32	10,7	1	10,7	20,7	
3	15	349	243	27	9,0	1	9,0	25,7	
3	18	368	262	19	6,3	1	6,3	40,4	
3	21	383	277	15	5,0	1	5,0	54,6	
3	24	398	292	15	5,0	1	5,0	54,6	
3	27	417	311	19	6,3	1	6,3	40,4	
3	30	441	335	24	8,0	1	8,0	29,9	
3	33	468	362	27	9,0	1	9,0	25,7	
3	36	491	385	23	7,7	1	7,7	31,6	
3	39	509	403	18	6,0	1	6,0	43,2	
									34,9

km 1+400		Strona: zachodnia				Odl. od osi DS: 70 m			
Liczba uderzeń	Suma liczby uderzeń	Odczyt [mm]	Penetracja całkowita [mm]	Penetracja pomiędzy odcz. [mm]	Zagłębienie na 1 uderzenie [mm/1uderz.]	Współczynnik 1 dla 8 kg 2 dla 4,6 kg	DCP [-]	CBR [%]	CBR średnie [%]
0	0	116	0						
1	1	179	63	63	63,0	1	63,0	2,1	
1	2	198	82	19	19,0	1	19,0	9,9	
1	3	211	95	13	13,0	1	13,0	16,1	
1	4	222	106	11	11,0	1	11,0	19,9	
1	5	231	115	9	9,0	1	9,0	25,7	
1	6	239	123	8	8,0	1	8,0	29,9	
3	9	262	146	23	7,7	1	7,7	31,6	
3	12	290	174	28	9,3	1	9,3	24,6	
3	15	324	208	34	11,3	1	11,3	19,2	
3	18	357	241	33	11,0	1	11,0	19,9	22,2
3	21	388	272	31	10,3	1	10,3	21,6	
3	24	415	299	27	9,0	1	9,0	25,7	
3	27	444	328	29	9,7	1	9,7	23,5	
3	30	467	351	23	7,7	1	7,7	31,6	
3	33	489	373	22	7,3	1	7,3	33,5	
3	36	511	395	22	7,3	1	7,3	33,5	

km 1+500		Strona: zachodnia				Odl. od osi DS: 40 m			
Liczba uderzeń	Suma liczby uderzeń	Odczyt [mm]	Penetracja całkowita [mm]	Penetracja pomiędzy odcz. [mm]	Zagłębienie na 1 uderzenie [mm/1uderz.]	Współczynnik 1 dla 8 kg 2 dla 4,6 kg	DCP [-]	CBR [%]	CBR średnie [%]
0	0	99	0						
1	1	162	63	63	63,0	1	63,0	2,1	
1	2	188	89	26	26,0	1	26,0	6,6	
1	3	208	109	20	20,0	1	20,0	9,3	
1	4	227	128	19	19,0	1	19,0	9,9	
1	5	242	143	15	15,0	1	15,0	13,4	
1	6	259	160	17	17,0	1	17,0	11,4	
3	9	303	204	44	14,7	1	14,7	13,8	
3	12	335	236	32	10,7	1	10,7	20,7	22,4
3	15	362	263	27	9,0	1	9,0	25,7	
3	18	388	289	26	8,7	1	8,7	27,0	
3	21	409	310	21	7,0	1	7,0	35,5	
3	24	431	332	22	7,3	1	7,3	33,5	
3	27	451	352	20	6,7	1	6,7	37,8	
3	30	468	369	17	5,7	1	5,7	46,5	
3	33	483	384	15	5,0	1	5,0	54,6	
3	36	500	401	17	5,7	1	5,7	46,5	

km 1+500		Strona: zachodnia				Odl. od osi DS: 70 m			
Liczba uderzeń	Suma liczby uderzeń	Odczyt [mm]	Penetracja całkowita [mm]	Penetracja pomiędzy odcz. [mm]	Zagłębienie na 1 uderzenie [mm/1uderz.]	Współczynnik 1 dla 8 kg 2 dla 4,6 kg	DCP [-]	CBR [%]	CBR średnie [%]
0	0	107	0						
1	1	178	71	71	71,0	1	71,0	1,8	
1	2	206	99	28	28,0	1	28,0	6,0	
1	3	229	122	23	23,0	1	23,0	7,7	
1	4	250	143	21	21,0	1	21,0	8,7	
1	5	265	158	15	15,0	1	15,0	13,4	
1	6	279	172	14	14,0	1	14,0	14,6	
3	9	319	212	40	13,3	1	13,3	15,6	
3	12	353	246	34	11,3	1	11,3	19,2	16,9
3	15	391	284	38	12,7	1	12,7	16,6	
3	18	426	319	35	11,7	1	11,7	18,5	
3	21	461	354	35	11,7	1	11,7	18,5	
3	24	491	384	30	10,0	1	10,0	22,5	
3	27	514	407	23	7,7	1	7,7	31,6	

km	1+600		Strona: zachodnia			Odl. od osi DS: 40 m			
Liczba uderzeń	Suma liczby uderzeń	Odczyt [mm]	Penetracja całkowita [mm]	Penetracja pomiędzy odcz. [mm]	Zagłębienie na 1 uderzenie [mm/1uderz.]	Współczynnik 1 dla 8 kg 2 dla 4,6 kg	DCP [-]	CBR [%]	CBR średnie [%]
0	0	94	0						
1	1	145	51	51	51,0	1	51,0	2,8	
1	2	177	83	32	32,0	1	32,0	5,1	
1	3	197	103	20	20,0	1	20,0	9,3	
1	4	216	122	19	19,0	1	19,0	9,9	
1	5	235	141	19	19,0	1	19,0	9,9	
1	6	252	158	17	17,0	1	17,0	11,4	
3	9	295	201	43	14,3	1	14,3	14,2	
3	12	320	226	25	8,3	1	8,3	28,4	
3	15	336	242	16	5,3	1	5,3	50,3	
3	18	349	255	13	4,3	1	4,3	65,6	
3	21	363	269	14	4,7	1	4,7	59,7	
3	24	375	281	12	4,0	1	4,0	72,7	
3	27	388	294	13	4,3	1	4,3	65,6	
3	30	402	308	14	4,7	1	4,7	59,7	
3	33	417	323	15	5,0	1	5,0	54,6	
3	36	434	340	17	5,7	1	5,7	46,5	
3	39	450	356	16	5,3	1	5,3	50,3	
3	42	468	374	18	6,0	1	6,0	43,2	
3	45	485	391	17	5,7	1	5,7	46,5	

km	1+600		Strona: zachodnia			Odl. od osi DS: 70 m			
Liczba uderzeń	Suma liczby uderzeń	Odczyt [mm]	Penetracja całkowita [mm]	Penetracja pomiędzy odcz. [mm]	Zagłębienie na 1 uderzenie [mm/1uderz.]	Współczynnik 1 dla 8 kg 2 dla 4,6 kg	DCP [-]	CBR [%]	CBR średnie [%]
0	0	108	0						
1	1	173	65	65	65,0	1	65,0	2,0	
1	2	198	90	25	25,0	1	25,0	7,0	
1	3	214	106	16	16,0	1	16,0	12,3	
1	4	229	121	15	15,0	1	15,0	13,4	
1	5	243	135	14	14,0	1	14,0	14,6	
1	6	256	148	13	13,0	1	13,0	16,1	
3	9	296	188	40	13,3	1	13,3	15,6	
3	12	333	225	37	12,3	1	12,3	17,2	
3	15	371	263	38	12,7	1	12,7	16,6	
3	18	391	283	20	6,7	1	6,7	37,8	
3	21	401	293	10	3,3	1	3,3	91,8	
3	24	412	304	11	3,7	1	3,7	81,2	
3	27	425	317	13	4,3	1	4,3	65,6	
3	30	437	329	12	4,0	1	4,0	72,7	
3	33	447	339	10	3,3	1	3,3	91,8	
3	36	459	351	12	4,0	1	4,0	72,7	
3	39	474	366	15	5,0	1	5,0	54,6	
3	42	490	382	16	5,3	1	5,3	50,3	

km	1+700		Strona: zachodnia			Odl. od osi DS: 40 m			
Liczba uderzeń	Suma liczby uderzeń	Odczyt [mm]	Penetracja całkowita [mm]	Penetracja pomiędzy odcz. [mm]	Zagłębienie na 1 uderzenie [mm/1uderz.]	Współczynnik 1 dla 8 kg 2 dla 4,6 kg	DCP [-]	CBR [%]	CBR średnie [%]
0	0	103	0						
1	1	150	47	47	47,0	1	47,0	3,1	
1	2	170	67	20	20,0	1	20,0	9,3	
1	3	186	83	16	16,0	1	16,0	12,3	
1	4	201	98	15	15,0	1	15,0	13,4	
1	5	219	116	18	18,0	1	18,0	10,6	
1	6	238	135	19	19,0	1	19,0	9,9	
3	9	292	189	54	18,0	1	18,0	10,6	
3	12	319	216	27	9,0	1	9,0	25,7	
3	15	344	241	25	8,3	1	8,3	28,4	
3	18	367	264	23	7,7	1	7,7	31,6	
3	21	392	289	25	8,3	1	8,3	28,4	
3	24	418	315	26	8,7	1	8,7	27,0	
3	27	445	342	27	9,0	1	9,0	25,7	
3	30	466	363	21	7,0	1	7,0	35,5	
3	33	482	379	16	5,3	1	5,3	50,3	

km 1+700		Strona: zachodnia				Odl. od osi DS: 70 m			
Liczba uderzeń	Suma liczby uderzeń	Odczyt [mm]	Penetracja całkowita [mm]	Penetracja pomiędzy odcz. [mm]	Zagłębienie na 1 uderzenie [mm/1uderz.]	Współczynnik 1 dla 8 kg 2 dla 4,6 kg	DCP [-]	CBR [%]	CBR średnie [%]
0	0	105	0						
1	1	163	58	58	58,0	1	58,0	2,4	
1	2	201	96	38	38,0	1	38,0	4,1	
1	3	223	118	22	22,0	1	22,0	8,2	
1	4	247	142	24	24,0	1	24,0	7,3	
1	5	266	161	19	19,0	1	19,0	9,9	
1	6	278	173	12	12,0	1	12,0	17,8	
3	9	305	200	27	9,0	1	9,0	25,7	
3	12	331	226	26	8,7	1	8,7	27,0	
3	15	359	254	28	9,3	1	9,3	24,6	
3	18	389	284	30	10,0	1	10,0	22,5	
3	21	418	313	29	9,7	1	9,7	23,5	
3	24	445	340	27	9,0	1	9,0	25,7	
3	27	475	370	30	10,0	1	10,0	22,5	
3	30	511	406	36	12,0	1	12,0	17,8	
									21,6

km 1+800		Strona: zachodnia				Odl. od osi DS: 40 m			
Liczba uderzeń	Suma liczby uderzeń	Odczyt [mm]	Penetracja całkowita [mm]	Penetracja pomiędzy odcz. [mm]	Zagłębienie na 1 uderzenie [mm/1uderz.]	Współczynnik 1 dla 8 kg 2 dla 4,6 kg	DCP [-]	CBR [%]	CBR średnie [%]
0	0	98	0						
1	1	152	54	54	54,0	1	54,0	2,6	
1	2	175	77	23	23,0	1	23,0	7,7	
1	3	200	102	25	25,0	1	25,0	7,0	
1	4	215	117	15	15,0	1	15,0	13,4	
1	5	239	141	24	24,0	1	24,0	7,3	
1	6	253	155	14	14,0	1	14,0	14,6	
3	9	276	178	23	7,7	1	7,7	31,6	
3	12	311	213	35	11,7	1	11,7	18,5	
3	15	335	237	24	8,0	1	8,0	29,9	
3	18	354	256	19	6,3	1	6,3	40,4	
3	21	375	277	21	7,0	1	7,0	35,5	
3	24	401	303	26	8,7	1	8,7	27,0	
3	27	426	328	25	8,3	1	8,3	28,4	
3	30	453	355	27	9,0	1	9,0	25,7	
3	33	484	386	31	10,3	1	10,3	21,6	
3	36	511	413	27	9,0	1	9,0	25,7	
									30,5

km 1+800		Strona: zachodnia				Odl. od osi DS: 70 m			
Liczba uderzeń	Suma liczby uderzeń	Odczyt [mm]	Penetracja całkowita [mm]	Penetracja pomiędzy odcz. [mm]	Zagłębienie na 1 uderzenie [mm/1uderz.]	Współczynnik 1 dla 8 kg 2 dla 4,6 kg	DCP [-]	CBR [%]	CBR średnie [%]
0	0	102	0						
1	1	151	49	49	49,0	1	49,0	2,9	
1	2	169	67	18	18,0	1	18,0	10,6	
1	3	182	80	13	13,0	1	13,0	16,1	
1	4	192	90	10	10,0	1	10,0	22,5	
1	5	203	101	11	11,0	1	11,0	19,9	
1	6	216	114	13	13,0	1	13,0	16,1	
3	9	248	146	32	10,7	1	10,7	20,7	
3	12	275	173	27	9,0	1	9,0	25,7	
3	15	304	202	29	9,7	1	9,7	23,5	
3	18	332	230	28	9,3	1	9,3	24,6	
3	21	352	250	20	6,7	1	6,7	37,8	
3	24	378	276	26	8,7	1	8,7	27,0	
3	27	403	301	25	8,3	1	8,3	28,4	
3	30	418	316	15	5,0	1	5,0	54,6	
3	33	441	339	23	7,7	1	7,7	31,6	
3	36	465	363	24	8,0	1	8,0	29,9	
3	39	490	388	25	8,3	1	8,3	28,4	
3	42	516	414	26	8,7	1	8,7	27,0	
									27,8

km 1+900		Strona: zachodnia				Odl. od osi DS: 40 m			
Liczba uderzeń	Suma liczby uderzeń	Odczyt [mm]	Penetracja całkowita [mm]	Penetracja pomiędzy odcz. [mm]	Zagłębienie na 1 uderzenie [mm/1uderz.]	Współczynnik 1 dla 8 kg 2 dla 4,6 kg	DCP [-]	CBR [%]	CBR średnie [%]
0	0	107	0						
1	1	171	64	64	64,0	1	64,0	2,1	
1	2	185	78	14	14,0	1	14,0	14,6	
1	3	194	87	9	9,0	1	9,0	25,7	
1	4	203	96	9	9,0	1	9,0	25,7	
1	5	218	111	15	15,0	1	15,0	13,4	
1	6	234	127	16	16,0	1	16,0	12,3	
3	9	293	186	59	19,7	1	19,7	9,5	
3	12	353	246	60	20,0	1	20,0	9,3	8,8
3	15	423	316	70	23,3	1	23,3	7,6	
3	18	465	358	42	14,0	1	14,0	14,6	
3	21	506	399	41	13,7	1	13,7	15,1	

km 1+900		Strona: zachodnia				Odl. od osi DS: 70 m			
Liczba uderzeń	Suma liczby uderzeń	Odczyt [mm]	Penetracja całkowita [mm]	Penetracja pomiędzy odcz. [mm]	Zagłębienie na 1 uderzenie [mm/1uderz.]	Współczynnik 1 dla 8 kg 2 dla 4,6 kg	DCP [-]	CBR [%]	CBR średnie [%]
0	0	95	0						
1	1	172	77	77	77,0	1	77,0	1,6	
1	2	198	103	26	26,0	1	26,0	6,6	
1	3	214	119	16	16,0	1	16,0	12,3	
1	4	230	135	16	16,0	1	16,0	12,3	
1	5	247	152	17	17,0	1	17,0	11,4	
1	6	264	169	17	17,0	1	17,0	11,4	
3	9	329	234	65	21,7	1	21,7	8,4	
3	12	367	272	38	12,7	1	12,7	16,6	21,5
3	15	388	293	21	7,0	1	7,0	35,5	
3	18	409	314	21	7,0	1	7,0	35,5	
3	21	427	332	18	6,0	1	6,0	43,2	
3	24	445	350	18	6,0	1	6,0	43,2	
3	27	464	369	19	6,3	1	6,3	40,4	
3	30	486	391	22	7,3	1	7,3	33,5	
3	33	510	415	24	8,0	1	8,0	29,9	

km 2+000		Strona: zachodnia				Odl. od osi DS: 40 m			
Liczba uderzeń	Suma liczby uderzeń	Odczyt [mm]	Penetracja całkowita [mm]	Penetracja pomiędzy odcz. [mm]	Zagłębienie na 1 uderzenie [mm/1uderz.]	Współczynnik 1 dla 8 kg 2 dla 4,6 kg	DCP [-]	CBR [%]	CBR średnie [%]
0	0	103	0						
1	1	180	77	77	77,0	1	77,0	1,6	
1	2	200	97	20	20,0	1	20,0	9,3	
1	3	216	113	16	16,0	1	16,0	12,3	
1	4	229	126	13	13,0	1	13,0	16,1	
1	5	242	139	13	13,0	1	13,0	16,1	
1	6	252	149	10	10,0	1	10,0	22,5	
3	9	285	182	33	11,0	1	11,0	19,9	
3	12	323	220	38	12,7	1	12,7	16,6	
3	15	350	247	27	9,0	1	9,0	25,7	29,9
3	18	372	269	22	7,3	1	7,3	33,5	
3	21	391	288	19	6,3	1	6,3	40,4	
3	24	409	306	18	6,0	1	6,0	43,2	
3	27	431	328	22	7,3	1	7,3	33,5	
3	30	452	349	21	7,0	1	7,0	35,5	
3	33	473	370	21	7,0	1	7,0	35,5	
3	36	494	391	21	7,0	1	7,0	35,5	
3	39	512	409	18	6,0	1	6,0	43,2	

km 2+000		Strona: zachodnia				Odl. od osi DS: 70 m			
Liczba uderzeń	Suma liczby uderzeń	Odczyt [mm]	Penetracja całkowita [mm]	Penetracja pomiędzy odcz. [mm]	Zagłębienie na 1 uderzenie [mm/1uderz.]	Współczynnik 1 dla 8 kg 2 dla 4,6 kg	DCP [-]	CBR [%]	CBR średnie [%]
0	0	100	0						
1	1	142	42	42	42,0	1	42,0	3,6	
1	2	160	60	18	18,0	1	18,0	10,6	
1	3	171	71	11	11,0	1	11,0	19,9	
1	4	180	80	9	9,0	1	9,0	25,7	
1	5	189	89	9	9,0	1	9,0	25,7	
1	6	196	96	7	7,0	1	7,0	35,5	
3	9	220	120	24	8,0	1	8,0	29,9	
3	12	242	142	22	7,3	1	7,3	33,5	
3	15	256	156	14	4,7	1	4,7	59,7	59,7
3	18	256	156						
3	21	opór							

km 2+100		Strona: zachodnia				Odl. od osi DS: 40 m			
Liczba uderzeń	Suma liczby uderzeń	Odczyt [mm]	Penetracja całkowita [mm]	Penetracja pomiędzy odcz. [mm]	Zagłębienie na 1 uderzenie [mm/1uderz.]	Współczynnik 1 dla 8 kg 2 dla 4,6 kg	DCP [-]	CBR [%]	CBR średnie [%]
0	0	103	0						
1	1	161	58	58	58,0	1	58,0	2,4	
1	2	197	94	36	36,0	1	36,0	4,4	
1	3	225	122	28	28,0	1	28,0	6,0	
1	4	251	148	26	26,0	1	26,0	6,6	
1	5	277	174	26	26,0	1	26,0	6,6	
1	6	299	196	22	22,0	1	22,0	8,2	
3	9	367	264	68	22,7	1	22,7	7,9	
3	12	432	329	65	21,7	1	21,7	8,4	
3	15	502	399	70	23,3	1	23,3	7,6	

km 2+100		Strona: zachodnia				Odl. od osi DS: 70 m			
Liczba uderzeń	Suma liczby uderzeń	Odczyt [mm]	Penetracja całkowita [mm]	Penetracja pomiędzy odcz. [mm]	Zagłębienie na 1 uderzenie [mm/1uderz.]	Współczynnik 1 dla 8 kg 2 dla 4,6 kg	DCP [-]	CBR [%]	CBR średnie [%]
0	0	104	0						
1	1	157	53	53	53,0	1	53,0	2,7	
1	2	184	80	27	27,0	1	27,0	6,3	
1	3	206	102	22	22,0	1	22,0	8,2	
1	4	222	118	16	16,0	1	16,0	12,3	
1	5	232	128	10	10,0	1	10,0	22,5	
1	6	242	138	10	10,0	1	10,0	22,5	
3	9	264	160	22	7,3	1	7,3	33,5	
3	12	284	180	20	6,7	1	6,7	37,8	
3	15	302	198	18	6,0	1	6,0	43,2	
3	18	317	213	15	5,0	1	5,0	54,6	
3	21	331	227	14	4,7	1	4,7	59,7	
3	24	347	243	16	5,3	1	5,3	50,3	
3	27	361	257	14	4,7	1	4,7	59,7	
3	30	375	271	14	4,7	1	4,7	59,7	
3	33	388	284	13	4,3	1	4,3	65,6	
3	36	400	296	12	4,0	1	4,0	72,7	
3	39	411	307	11	3,7	1	3,7	81,2	
3	42	421	317	10	3,3	1	3,3	91,8	
3	45	430	326	9	3,0	1	3,0	105,0	
3	48	441	337	11	3,7	1	3,7	81,2	
3	51	455	351	14	4,7	1	4,7	59,7	
3	54	471	367	16	5,3	1	5,3	50,3	
3	57	486	382	15	5,0	1	5,0	54,6	
3	60	501	397	15	5,0	1	5,0	54,6	

km 2+200		Strona: zachodnia				Odl. od osi DS: 40 m			
Liczba uderzeń	Suma liczby uderzeń	Odczyt [mm]	Penetracja całkowita [mm]	Penetracja pomiędzy odcz. [mm]	Zagłębienie na 1 uderzenie [mm/1uderz.]	Współczynnik 1 dla 8 kg 2 dla 4,6 kg	DCP [-]	CBR [%]	CBR średnie [%]
0	0	131	0						
1	1	198	67	67	67,0	1	67,0	2,0	
1	2	230	99	32	32,0	1	32,0	5,1	
1	3	257	126	27	27,0	1	27,0	6,3	
1	4	279	148	22	22,0	1	22,0	8,2	
1	5	297	166	18	18,0	1	18,0	10,6	
1	6	314	183	17	17,0	1	17,0	11,4	
3	9	355	224	41	13,7	1	13,7	15,1	14,2
3	12	393	262	38	12,7	1	12,7	16,6	
3	15	430	299	37	12,3	1	12,3	17,2	
3	18	464	333	34	11,3	1	11,3	19,2	
3	21	498	367	34	11,3	1	11,3	19,2	
3	24	529	398	31	10,3	1	10,3	21,6	

km 2+200		Strona: zachodnia				Odl. od osi DS: 70 m			
Liczba uderzeń	Suma liczby uderzeń	Odczyt [mm]	Penetracja całkowita [mm]	Penetracja pomiędzy odcz. [mm]	Zagłębienie na 1 uderzenie [mm/1uderz.]	Współczynnik 1 dla 8 kg 2 dla 4,6 kg	DCP [-]	CBR [%]	CBR średnie [%]
0	0	107	0						
1	1	153	46	46	46,0	1	46,0	3,2	
1	2	172	65	19	19,0	1	19,0	9,9	
1	3	185	78	13	13,0	1	13,0	16,1	
1	4	194	87	9	9,0	1	9,0	25,7	
1	5	206	99	12	12,0	1	12,0	17,8	
1	6	213	106	7	7,0	1	7,0	35,5	
3	9	233	126	20	6,7	1	6,7	37,8	
3	12	252	145	19	6,3	1	6,3	40,4	
3	15	273	166	21	7,0	1	7,0	35,5	
3	18	290	183	17	5,7	1	5,7	46,5	
3	21	309	202	19	6,3	1	6,3	40,4	47,4
3	24	324	217	15	5,0	1	5,0	54,6	
3	27	341	234	17	5,7	1	5,7	46,5	
3	30	360	253	19	6,3	1	6,3	40,4	
3	33	373	266	13	4,3	1	4,3	65,6	
3	36	390	283	17	5,7	1	5,7	46,5	
3	39	406	299	16	5,3	1	5,3	50,3	
3	42	423	316	17	5,7	1	5,7	46,5	
3	45	438	331	15	5,0	1	5,0	54,6	
3	48	458	351	20	6,7	1	6,7	37,8	
3	51	479	372	21	7,0	1	7,0	35,5	
3	54	503	396	24	8,0	1	8,0	29,9	

km 2+300		Strona: zachodnia				Odl. od osi DS: 40 m			
Liczba uderzeń	Suma liczby uderzeń	Odczyt [mm]	Penetracja całkowita [mm]	Penetracja pomiędzy odcz. [mm]	Zagłębienie na 1 uderzenie [mm/1uderz.]	Współczynnik 1 dla 8 kg 2 dla 4,6 kg	DCP [-]	CBR [%]	CBR średnie [%]
0	0	107	0						
1	1	165	58	58	58,0	1	58,0	2,4	
1	2	185	78	20	20,0	1	20,0	9,3	
1	3	202	95	17	17,0	1	17,0	11,4	
1	4	216	109	14	14,0	1	14,0	14,6	
1	5	226	119	10	10,0	1	10,0	22,5	
1	6	237	130	11	11,0	1	11,0	19,9	
3	9	263	156	26	8,7	1	8,7	27,0	
3	12	289	182	26	8,7	1	8,7	27,0	
3	15	315	208	26	8,7	1	8,7	27,0	
3	18	341	234	26	8,7	1	8,7	27,0	27,7
3	21	366	259	25	8,3	1	8,3	28,4	
3	24	392	285	26	8,7	1	8,7	27,0	
3	27	416	309	24	8,0	1	8,0	29,9	
3	30	447	340	31	10,3	1	10,3	21,6	
3	33	485	378	38	12,7	1	12,7	16,6	
3	36	513	406	28	9,3	1	9,3	24,6	

km 2+300		Strona: zachodnia				Odl. od osi DS: 70 m			
Liczba uderzeń	Suma liczby uderzeń	Odczyt [mm]	Penetracja całkowita [mm]	Penetracja pomiędzy odcz. [mm]	Zagłębienie na 1 uderzenie [mm/1uderz.]	Współczynnik 1 dla 8 kg 2 dla 4,6 kg	DCP [-]	CBR [%]	CBR średnie [%]
0	0	100	0						
1	1	151	51	51	51,0	1	51,0	2,8	
1	2	179	79	28	28,0	1	28,0	6,0	
1	3	191	91	12	12,0	1	12,0	17,8	
1	4	202	102	11	11,0	1	11,0	19,9	
1	5	209	109	7	7,0	1	7,0	35,5	
1	6	217	117	8	8,0	1	8,0	29,9	
3	9	236	136	19	6,3	1	6,3	40,4	
3	12	254	154	18	6,0	1	6,0	43,2	
3	15	269	169	15	5,0	1	5,0	54,6	
3	18	283	183	14	4,7	1	4,7	59,7	
3	21	300	200	17	5,7	1	5,7	46,5	
3	24	315	215	15	5,0	1	5,0	54,6	
3	27	331	231	16	5,3	1	5,3	50,3	
3	30	348	248	17	5,7	1	5,7	46,5	
3	33	367	267	19	6,3	1	6,3	40,4	
3	36	388	288	21	7,0	1	7,0	35,5	
3	39	403	303	15	5,0	1	5,0	54,6	
3	42	416	316	13	4,3	1	4,3	65,6	
3	45	429	329	13	4,3	1	4,3	65,6	
3	48	444	344	15	5,0	1	5,0	54,6	
3	51	456	356	12	4,0	1	4,0	72,7	
3	54	472	372	16	5,3	1	5,3	50,3	
3	57	485	385	13	4,3	1	4,3	65,6	
									49,2

km 2+400		Strona: zachodnia				Odl. od osi DS: 40 m			
Liczba uderzeń	Suma liczby uderzeń	Odczyt [mm]	Penetracja całkowita [mm]	Penetracja pomiędzy odcz. [mm]	Zagłębienie na 1 uderzenie [mm/1uderz.]	Współczynnik 1 dla 8 kg 2 dla 4,6 kg	DCP [-]	CBR [%]	CBR średnie [%]
0	0	122	0						
1	1	192	70	70	70,0	1	70,0	1,9	
1	2	224	102	32	32,0	1	32,0	5,1	
1	3	249	127	25	25,0	1	25,0	7,0	
1	4	270	148	21	21,0	1	21,0	8,7	
1	5	288	166	18	18,0	1	18,0	10,6	
1	6	308	186	20	20,0	1	20,0	9,3	
3	9	356	234	48	16,0	1	16,0	12,3	
3	12	397	275	41	13,7	1	13,7	15,1	
3	15	431	309	34	11,3	1	11,3	19,2	
3	18	461	339	30	10,0	1	10,0	22,5	
3	21	491	369	30	10,0	1	10,0	22,5	
3	24	518	396	27	9,0	1	9,0	25,7	
									13,3

km 2+400		Strona: zachodnia				Odl. od osi DS: 70 m			
Liczba uderzeń	Suma liczby uderzeń	Odczyt [mm]	Penetracja całkowita [mm]	Penetracja pomiędzy odcz. [mm]	Zagłębienie na 1 uderzenie [mm/1uderz.]	Współczynnik 1 dla 8 kg 2 dla 4,6 kg	DCP [-]	CBR [%]	CBR średnie [%]
0	0	103	0						
1	1	165	62	62	62,0	1	62,0	2,2	
1	2	200	97	35	35,0	1	35,0	4,5	
1	3	221	118	21	21,0	1	21,0	8,7	
1	4	238	135	17	17,0	1	17,0	11,4	
1	5	249	146	11	11,0	1	11,0	19,9	
1	6	261	158	12	12,0	1	12,0	17,8	
3	9	287	184	26	8,7	1	8,7	27,0	
3	12	308	205	21	7,0	1	7,0	35,5	
3	15	327	224	19	6,3	1	6,3	40,4	
3	18	346	243	19	6,3	1	6,3	40,4	
3	21	363	260	17	5,7	1	5,7	46,5	
3	24	382	279	19	6,3	1	6,3	40,4	
3	27	402	299	20	6,7	1	6,7	37,8	
3	30	423	320	21	7,0	1	7,0	35,5	
3	33	444	341	21	7,0	1	7,0	35,5	
3	36	465	362	21	7,0	1	7,0	35,5	
3	39	487	384	22	7,3	1	7,3	33,5	
									38,3

km		2+500		Strona: zachodnia			Odl. od osi DS: 40 m			
Liczba uderzeń	Suma liczby uderzeń	Odczyt [mm]	Penetracja całkowita [mm]	Penetracja pomiędzy odcz. [mm]	Zagłębienie na 1 uderzenie [mm/1uderz.]	Współczynnik 1 dla 8 kg 2 dla 4,6 kg	DCP [-]	CBR [%]	CBR średnie [%]	
0	0	108	0							
1	1	167	59	59	59,0	1	59,0	2,3		
1	2	195	87	28	28,0	1	28,0	6,0		
1	3	216	108	21	21,0	1	21,0	8,7		
1	4	232	124	16	16,0	1	16,0	12,3		
1	5	248	140	16	16,0	1	16,0	12,3		
1	6	264	156	16	16,0	1	16,0	12,3		
3	9	301	193	37	12,3	1	12,3	17,2		
3	12	340	232	39	13,0	1	13,0	16,1	17,9	
3	15	374	266	34	11,3	1	11,3	19,2		
3	18	408	300	34	11,3	1	11,3	19,2		
3	21	442	334	34	11,3	1	11,3	19,2		
3	24	473	365	31	10,3	1	10,3	21,6		
3	27	504	396	31	10,3	1	10,3	21,6		

km		2+500		Strona: zachodnia			Odl. od osi DS: 70 m			
Liczba uderzeń	Suma liczby uderzeń	Odczyt [mm]	Penetracja całkowita [mm]	Penetracja pomiędzy odcz. [mm]	Zagłębienie na 1 uderzenie [mm/1uderz.]	Współczynnik 1 dla 8 kg 2 dla 4,6 kg	DCP [-]	CBR [%]	CBR średnie [%]	
0	0	130	0							
1	1	206	76	76	76,0	1	76,0	1,7		
1	2	233	103	27	27,0	1	27,0	6,3		
1	3	251	121	18	18,0	1	18,0	10,6		
1	4	268	138	17	17,0	1	17,0	11,4		
1	5	281	151	13	13,0	1	13,0	16,1		
1	6	295	165	14	14,0	1	14,0	14,6		
3	9	332	202	37	12,3	1	12,3	17,2		
3	12	361	231	29	9,7	1	9,7	23,5	19,5	
3	15	392	262	31	10,3	1	10,3	21,6		
3	18	424	294	32	10,7	1	10,7	20,7		
3	21	459	329	35	11,7	1	11,7	18,5		
3	24	492	362	33	11,0	1	11,0	19,9		
3	27	527	397	35	11,7	1	11,7	18,5		

km	0+000		Strona: wschodnia			Odl. od osi DS: 40 m			
Liczba uderzeń	Suma liczby uderzeń	Odczyt [mm]	Penetracja całkowita [mm]	Penetracja pomiędzy odcz. [mm]	Zagłębienie na 1 uderzenie [mm/1uderz.]	Współczynnik 1 dla 8 kg 2 dla 4,6 kg	DCP [-]	CBR [%]	CBR średnie [%]
0	0	107	0						
1	1	151	44	44	44,0	1	44,0	3,4	
1	2	181	74	30	30,0	1	30,0	5,5	
1	3	198	91	17	17,0	1	17,0	11,4	
1	4	214	107	16	16,0	1	16,0	12,3	
1	5	225	118	11	11,0	1	11,0	19,9	
1	6	235	128	10	10,0	1	10,0	22,5	
3	9	256	149	21	7,0	1	7,0	35,5	
3	12	275	168	19	6,3	1	6,3	40,4	
3	15	295	188	20	6,7	1	6,7	37,8	
3	18	316	209	21	7,0	1	7,0	35,5	
3	21	342	235	26	8,7	1	8,7	27,0	
3	24	370	263	28	9,3	1	9,3	24,6	
3	27	400	293	30	10,0	1	10,0	22,5	
3	30	429	322	29	9,7	1	9,7	23,5	
3	33	462	355	33	11,0	1	11,0	19,9	
3	36	501	394	39	13,0	1	13,0	16,1	
									31,3

km	0+000		Strona: wschodnia			Odl. od osi DS: 70 m			
Liczba uderzeń	Suma liczby uderzeń	Odczyt [mm]	Penetracja całkowita [mm]	Penetracja pomiędzy odcz. [mm]	Zagłębienie na 1 uderzenie [mm/1uderz.]	Współczynnik 1 dla 8 kg 2 dla 4,6 kg	DCP [-]	CBR [%]	CBR średnie [%]
0	0	95	0						
1	1	134	39	39	39,0	1	39,0	3,9	
1	2	157	62	23	23,0	1	23,0	7,7	
1	3	171	76	14	14,0	1	14,0	14,6	
1	4	178	83	7	7,0	1	7,0	35,5	
1	5	186	91	8	8,0	1	8,0	29,9	
1	6	192	97	6	6,0	1	6,0	43,2	
3	9	210	115	18	6,0	1	6,0	43,2	
3	12	222	127	12	4,0	1	4,0	72,7	
3	15	239	144	17	5,7	1	5,7	46,5	
3	18	254	159	15	5,0	1	5,0	54,6	
3	21	277	182	23	7,7	1	7,7	31,6	
3	24	299	204	22	7,3	1	7,3	33,5	
3	27	322	227	23	7,7	1	7,7	31,6	
3	30	343	248	21	7,0	1	7,0	35,5	
3	33	365	270	22	7,3	1	7,3	33,5	
3	36	385	290	20	6,7	1	6,7	37,8	
3	39	403	308	18	6,0	1	6,0	43,2	
3	42	420	325	17	5,7	1	5,7	46,5	
3	45	433	338	13	4,3	1	4,3	65,6	
3	48	448	353	15	5,0	1	5,0	54,6	
3	51	464	369	16	5,3	1	5,3	50,3	
3	54	479	384	15	5,0	1	5,0	54,6	
									37,7

km	0+100		Strona: wschodnia			Odl. od osi DS: 40 m			
Liczba uderzeń	Suma liczby uderzeń	Odczyt [mm]	Penetracja całkowita [mm]	Penetracja pomiędzy odcz. [mm]	Zagłębienie na 1 uderzenie [mm/1uderz.]	Współczynnik 1 dla 8 kg 2 dla 4,6 kg	DCP [-]	CBR [%]	CBR średnie [%]
0	0	106	0						
1	1	170	64	64	64,0	1	64,0	2,1	
1	2	211	105	41	41,0	1	41,0	3,7	
1	3	252	146	41	41,0	1	41,0	3,7	
1	4	275	169	23	23,0	1	23,0	7,7	
1	5	289	183	14	14,0	1	14,0	14,6	
1	6	297	191	8	8,0	1	8,0	29,9	
3	9	321	215	24	8,0	1	8,0	29,9	
3	12	338	232	17	5,7	1	5,7	46,5	
3	15	361	255	23	7,7	1	7,7	31,6	
3	18	384	278	23	7,7	1	7,7	31,6	
3	21	409	303	25	8,3	1	8,3	28,4	
3	24	435	329	26	8,7	1	8,7	27,0	
3	27	458	352	23	7,7	1	7,7	31,6	
3	30	489	383	31	10,3	1	10,3	21,6	
									30,4

km		0+100		Strona: wschodnia			Odl. od osi DS: 70 m			
Liczba uderzeń	Suma liczby uderzeń	Odczyt [mm]	Penetracja całkowita [mm]	Penetracja pomiędzy odcz. [mm]	Zagłębienie na 1 uderzenie [mm/1uderz.]	Współczynnik 1 dla 8 kg 2 dla 4,6 kg	DCP [-]	CBR [%]	CBR średnie [%]	
0	0	101	0							
1	1	157	56	56	56,0	1	56,0	2,5		
1	2	177	76	20	20,0	1	20,0	9,3		
1	3	191	90	14	14,0	1	14,0	14,6		
1	4	203	102	12	12,0	1	12,0	17,8		
1	5	216	115	13	13,0	1	13,0	16,1		
1	6	230	129	14	14,0	1	14,0	14,6		
3	9	277	176	47	15,7	1	15,7	12,7		
3	12	317	216	40	13,3	1	13,3	15,6		
3	15	354	253	37	12,3	1	12,3	17,2		
3	18	389	288	35	11,7	1	11,7	18,5		
3	21	421	320	32	10,7	1	10,7	20,7		
3	24	454	353	33	11,0	1	11,0	19,9		
3	27	489	388	35	11,7	1	11,7	18,5		
3	30	518	417	29	9,7	1	9,7	23,5		

km		0+200		Strona: wschodnia			Odl. od osi DS: 40 m			
Liczba uderzeń	Suma liczby uderzeń	Odczyt [mm]	Penetracja całkowita [mm]	Penetracja pomiędzy odcz. [mm]	Zagłębienie na 1 uderzenie [mm/1uderz.]	Współczynnik 1 dla 8 kg 2 dla 4,6 kg	DCP [-]	CBR [%]	CBR średnie [%]	
0	0	104	0							
1	1	157	53	53	53,0	1	53,0	2,7		
1	2	186	82	29	29,0	1	29,0	5,8		
1	3	206	102	20	20,0	1	20,0	9,3		
1	4	223	119	17	17,0	1	17,0	11,4		
1	5	237	133	14	14,0	1	14,0	14,6		
1	6	249	145	12	12,0	1	12,0	17,8		
3	9	274	170	25	8,3	1	8,3	28,4		
3	12	296	192	22	7,3	1	7,3	33,5		
3	15	319	215	23	7,7	1	7,7	31,6		
3	18	338	234	19	6,3	1	6,3	40,4		
3	21	361	257	23	7,7	1	7,7	31,6		
3	24	382	278	21	7,0	1	7,0	35,5		
3	27	401	297	19	6,3	1	6,3	40,4		
3	30	422	318	21	7,0	1	7,0	35,5		
3	33	445	341	23	7,7	1	7,7	31,6		
3	36	474	370	29	9,7	1	9,7	23,5		
3	39	501	397	27	9,0	1	9,0	25,7		

km		0+200		Strona: wschodnia			Odl. od osi DS: 70 m			
Liczba uderzeń	Suma liczby uderzeń	Odczyt [mm]	Penetracja całkowita [mm]	Penetracja pomiędzy odcz. [mm]	Zagłębienie na 1 uderzenie [mm/1uderz.]	Współczynnik 1 dla 8 kg 2 dla 4,6 kg	DCP [-]	CBR [%]	CBR średnie [%]	
0	0	102	0							
1	1	171	69	69	69,0	1	69,0	1,9		
1	2	215	113	44	44,0	1	44,0	3,4		
1	3	245	143	30	30,0	1	30,0	5,5		
1	4	270	168	25	25,0	1	25,0	7,0		
1	5	292	190	22	22,0	1	22,0	8,2		
1	6	312	210	20	20,0	1	20,0	9,3		
3	9	359	257	47	15,7	1	15,7	12,7		
3	12	398	296	39	13,0	1	13,0	16,1		
3	15	435	333	37	12,3	1	12,3	17,2		
3	18	471	369	36	12,0	1	12,0	17,8		
3	21	505	403	34	11,3	1	11,3	19,2		

km		0+300		Strona: wschodnia			Odl. od osi DS: 40 m			
Liczba uderzeń	Suma liczby uderzeń	Odczyt [mm]	Penetracja całkowita [mm]	Penetracja pomiędzy odcz. [mm]	Zagłębienie na 1 uderzenie [mm/1uderz.]	Współczynnik 1 dla 8 kg 2 dla 4,6 kg	DCP [-]	CBR [%]	CBR średnie [%]	
0	0	106	0							
1	1	183	79	79	79,0	1	79,0	1,6		
1	2	222	118	39	39,0	1	39,0	3,9		
1	3	250	146	28	28,0	1	28,0	6,0		
1	4	272	168	22	22,0	1	22,0	8,2		
1	5	288	184	16	16,0	1	16,0	12,3		
1	6	302	198	14	14,0	1	14,0	14,6		
3	9	335	231	33	11,0	1	11,0	19,9	15,0	
3	12	368	264	33	11,0	1	11,0	19,9		
3	15	409	305	41	13,7	1	13,7	15,1		
3	18	453	349	44	14,7	1	14,7	13,8		
3	21	494	390	41	13,7	1	13,7	15,1		
3	24	538	434	44	14,7	1	14,7	13,8		

km		0+300		Strona: wschodnia			Odl. od osi DS: 70 m			
Liczba uderzeń	Suma liczby uderzeń	Odczyt [mm]	Penetracja całkowita [mm]	Penetracja pomiędzy odcz. [mm]	Zagłębienie na 1 uderzenie [mm/1uderz.]	Współczynnik 1 dla 8 kg 2 dla 4,6 kg	DCP [-]	CBR [%]	CBR średnie [%]	
0	0	110	0							
1	1	178	68	68	68,0	1	68,0	1,9		
1	2	204	94	26	26,0	1	26,0	6,6		
1	3	222	112	18	18,0	1	18,0	10,6		
1	4	233	123	11	11,0	1	11,0	19,9		
1	5	247	137	14	14,0	1	14,0	14,6		
1	6	258	148	11	11,0	1	11,0	19,9		
3	9	302	192	44	14,7	1	14,7	13,8		
3	12	357	247	55	18,3	1	18,3	10,4	11,5	
3	15	412	302	55	18,3	1	18,3	10,4		
3	18	460	350	48	16,0	1	16,0	12,3		
3	21	508	398	48	16,0	1	16,0	12,3		

km		0+400		Strona: wschodnia			Odl. od osi DS: 40 m			
Liczba uderzeń	Suma liczby uderzeń	Odczyt [mm]	Penetracja całkowita [mm]	Penetracja pomiędzy odcz. [mm]	Zagłębienie na 1 uderzenie [mm/1uderz.]	Współczynnik 1 dla 8 kg 2 dla 4,6 kg	DCP [-]	CBR [%]	CBR średnie [%]	
0	0	103	0							
1	1	171	68	68	68,0	1	68,0	1,9		
1	2	217	114	46	46,0	1	46,0	3,2		
1	3	253	150	36	36,0	1	36,0	4,4		
1	4	277	174	24	24,0	1	24,0	7,3		
1	5	298	195	21	21,0	1	21,0	8,7		
1	6	318	215	20	20,0	1	20,0	9,3		
3	9	359	256	41	13,7	1	13,7	15,1	14,3	
3	12	392	289	33	11,0	1	11,0	19,9		
3	15	419	316	27	9,0	1	9,0	25,7		
3	18	441	338	22	7,3	1	7,3	33,5		
3	21	463	360	22	7,3	1	7,3	33,5		
3	24	486	383	23	7,7	1	7,7	31,6		
3	27	510	407	24	8,0	1	8,0	29,9		

km 0+600		Strona: wschodnia				Odl. od osi DS: 40 m			
Liczba uderzeń	Suma liczby uderzeń	Odczyt [mm]	Penetracja całkowita [mm]	Penetracja pomiędzy odcz. [mm]	Zagłębienie na 1 uderzenie [mm/1uderz.]	Współczynnik 1 dla 8 kg 2 dla 4,6 kg	DCP [-]	CBR [%]	CBR średnie [%]
0	0	103	0						
1	1	181	78	78	78,0	1	78,0	1,6	
1	2	208	105	27	27,0	1	27,0	6,3	
1	3	230	127	22	22,0	1	22,0	8,2	
1	4	245	142	15	15,0	1	15,0	13,4	
1	5	259	156	14	14,0	1	14,0	14,6	
1	6	272	169	13	13,0	1	13,0	16,1	
3	9	305	202	33	11,0	1	11,0	19,9	17,5
3	12	338	235	33	11,0	1	11,0	19,9	
3	15	371	268	33	11,0	1	11,0	19,9	
3	18	413	310	42	14,0	1	14,0	14,6	
3	21	466	363	53	17,7	1	17,7	10,9	
3	24	518	415	52	17,3	1	17,3	11,1	

km 0+600		Strona: wschodnia				Odl. od osi DS: 70 m			
Liczba uderzeń	Suma liczby uderzeń	Odczyt [mm]	Penetracja całkowita [mm]	Penetracja pomiędzy odcz. [mm]	Zagłębienie na 1 uderzenie [mm/1uderz.]	Współczynnik 1 dla 8 kg 2 dla 4,6 kg	DCP [-]	CBR [%]	CBR średnie [%]
0	0	98	0						
1	1	159	61	61	61,0	1	61,0	2,2	
1	2	181	83	22	22,0	1	22,0	8,2	
1	3	197	99	16	16,0	1	16,0	12,3	
1	4	211	113	14	14,0	1	14,0	14,6	
1	5	223	125	12	12,0	1	12,0	17,8	
1	6	238	140	15	15,0	1	15,0	13,4	
3	9	278	180	40	13,3	1	13,3	15,6	
3	12	314	216	36	12,0	1	12,0	17,8	
3	15	336	238	22	7,3	1	7,3	33,5	28,3
3	18	360	262	24	8,0	1	8,0	29,9	
3	21	381	283	21	7,0	1	7,0	35,5	
3	24	401	303	20	6,7	1	6,7	37,8	
3	27	416	318	15	5,0	1	5,0	54,6	
3	30	429	331	13	4,3	1	4,3	65,6	
3	33	443	345	14	4,7	1	4,7	59,7	
3	36	457	359	14	4,7	1	4,7	59,7	
3	39	471	373	14	4,7	1	4,7	59,7	
3	42	483	385	12	4,0	1	4,0	72,7	
3	45	496	398	13	4,3	1	4,3	65,6	

km 0+700		Strona: wschodnia				Odl. od osi DS: 40 m			
Liczba uderzeń	Suma liczby uderzeń	Odczyt [mm]	Penetracja całkowita [mm]	Penetracja pomiędzy odcz. [mm]	Zagłębienie na 1 uderzenie [mm/1uderz.]	Współczynnik 1 dla 8 kg 2 dla 4,6 kg	DCP [-]	CBR [%]	CBR średnie [%]
0	0	113	0						
1	1	166	53	53	53,0	1	53,0	2,7	
1	2	223	110	57	57,0	1	57,0	2,4	
1	3	243	130	20	20,0	1	20,0	9,3	
1	4	259	146	16	16,0	1	16,0	12,3	
1	5	272	159	13	13,0	1	13,0	16,1	
1	6	280	167	8	8,0	1	8,0	29,9	
3	9	301	188	21	7,0	1	7,0	35,5	
3	12	319	206	18	6,0	1	6,0	43,2	
3	15	336	223	17	5,7	1	5,7	46,5	
3	18	354	241	18	6,0	1	6,0	43,2	45,4
3	21	369	256	15	5,0	1	5,0	54,6	
3	24	384	271	15	5,0	1	5,0	54,6	
3	27	400	287	16	5,3	1	5,3	50,3	
3	30	416	303	16	5,3	1	5,3	50,3	
3	33	431	318	15	5,0	1	5,0	54,6	
3	36	444	331	13	4,3	1	4,3	65,6	
3	39	455	342	11	3,7	1	3,7	81,2	
3	42	467	354	12	4,0	1	4,0	72,7	
3	45	478	365	11	3,7	1	3,7	81,2	
3	48	489	376	11	3,7	1	3,7	81,2	
3	51	500	387	11	3,7	1	3,7	81,2	

km		0+700		Strona: wschodnia			Odl. od osi DS: 70 m			
Liczba uderzeń	Suma liczby uderzeń	Odczyt [mm]	Penetracja całkowita [mm]	Penetracja pomiędzy odcz. [mm]	Zagłębienie na 1 uderzenie [mm/1uderz.]	Współczynnik 1 dla 8 kg 2 dla 4,6 kg	DCP [-]	CBR [%]	CBR średnie [%]	
0	0	140	0							
1	1	183	43	43	43,0	1	43,0	3,5		
1	2	201	61	18	18,0	1	18,0	10,6		
1	3	213	73	12	12,0	1	12,0	17,8		
1	4	228	88	15	15,0	1	15,0	13,4		
1	5	241	101	13	13,0	1	13,0	16,1		
1	6	252	112	11	11,0	1	11,0	19,9		
3	9	290	150	38	12,7	1	12,7	16,6		
3	12	343	203	53	17,7	1	17,7	10,9		
3	15	412	272	69	23,0	1	23,0	7,7	10,2	
3	18	461	321	49	16,3	1	16,3	12,0		
3	21	507	367	46	15,3	1	15,3	13,0		

km		0+800		Strona: wschodnia			Odl. od osi DS: 40 m			
Liczba uderzeń	Suma liczby uderzeń	Odczyt [mm]	Penetracja całkowita [mm]	Penetracja pomiędzy odcz. [mm]	Zagłębienie na 1 uderzenie [mm/1uderz.]	Współczynnik 1 dla 8 kg 2 dla 4,6 kg	DCP [-]	CBR [%]	CBR średnie [%]	
0	0	105	0							
1	1	163	58	58	58,0	1	58,0	2,4		
1	2	188	83	25	25,0	1	25,0	7,0		
1	3	206	101	18	18,0	1	18,0	10,6		
1	4	219	114	13	13,0	1	13,0	16,1		
1	5	230	125	11	11,0	1	11,0	19,9		
1	6	238	133	8	8,0	1	8,0	29,9		
3	9	263	158	25	8,3	1	8,3	28,4		
3	12	287	182	24	8,0	1	8,0	29,9		
3	15	313	208	26	8,7	1	8,7	27,0		
3	18	343	238	30	10,0	1	10,0	22,5	25,3	
3	21	372	267	29	9,7	1	9,7	23,5		
3	24	401	296	29	9,7	1	9,7	23,5		
3	27	425	320	24	8,0	1	8,0	29,9		
3	30	454	349	29	9,7	1	9,7	23,5		
3	33	483	378	29	9,7	1	9,7	23,5		
3	36	514	409	31	10,3	1	10,3	21,6		

km		0+800		Strona: wschodnia			Odl. od osi DS: 70 m			
Liczba uderzeń	Suma liczby uderzeń	Odczyt [mm]	Penetracja całkowita [mm]	Penetracja pomiędzy odcz. [mm]	Zagłębienie na 1 uderzenie [mm/1uderz.]	Współczynnik 1 dla 8 kg 2 dla 4,6 kg	DCP [-]	CBR [%]	CBR średnie [%]	
0	0	115	0							
1	1	174	59	59	59,0	1	59,0	2,3		
1	2	216	101	42	42,0	1	42,0	3,6		
1	3	246	131	30	30,0	1	30,0	5,5		
1	4	267	152	21	21,0	1	21,0	8,7		
1	5	284	169	17	17,0	1	17,0	11,4		
1	6	298	183	14	14,0	1	14,0	14,6		
3	9	327	212	29	9,7	1	9,7	23,5		
3	12	353	238	26	8,7	1	8,7	27,0	34,0	
3	15	373	258	20	6,7	1	6,7	37,8		
3	18	391	276	18	6,0	1	6,0	43,2		
3	21	406	291	15	5,0	1	5,0	54,6		
3	24	420	305	14	4,7	1	4,7	59,7		
3	27	432	317	12	4,0	1	4,0	72,7		
3	30	444	329	12	4,0	1	4,0	72,7		
3	33	455	340	11	3,7	1	3,7	81,2		
3	36	467	352	12	4,0	1	4,0	72,7		
3	39	482	367	15	5,0	1	5,0	54,6		
3	42	496	381	14	4,7	1	4,7	59,7		
3	45	512	397	16	5,3	1	5,3	50,3		

km		0+900		Strona: wschodnia			Odl. od osi DS: 40 m			
Liczba uderzeń	Suma liczby uderzeń	Odczyt [mm]	Penetracja całkowita [mm]	Penetracja pomiędzy odcz. [mm]	Zagłębienie na 1 uderzenie [mm/1uderz.]	Współczynnik 1 dla 8 kg 2 dla 4,6 kg	DCP [-]	CBR [%]	CBR średnie [%]	
0	0	100	0							
1	1	182	82	82	82,0	1	82,0	1,5		
1	2	204	104	22	22,0	1	22,0	8,2		
1	3	217	117	13	13,0	1	13,0	16,1		
1	4	225	125	8	8,0	1	8,0	29,9		
1	5	234	134	9	9,0	1	9,0	25,7		
1	6	240	140	6	6,0	1	6,0	43,2		
3	9	263	163	23	7,7	1	7,7	31,6		
3	12	286	186	23	7,7	1	7,7	31,6		
3	15	307	207	21	7,0	1	7,0	35,5		
3	18	329	229	22	7,3	1	7,3	33,5		
3	21	354	254	25	8,3	1	8,3	28,4		
3	24	382	282	28	9,3	1	9,3	24,6		
3	27	422	322	40	13,3	1	13,3	15,6		
3	30	460	360	38	12,7	1	12,7	16,6		
3	33	493	393	33	11,0	1	11,0	19,9		
3	36	526	426	33	11,0	1	11,0	19,9		
									28,7	

km		0+900		Strona: wschodnia			Odl. od osi DS: 70 m			
Liczba uderzeń	Suma liczby uderzeń	Odczyt [mm]	Penetracja całkowita [mm]	Penetracja pomiędzy odcz. [mm]	Zagłębienie na 1 uderzenie [mm/1uderz.]	Współczynnik 1 dla 8 kg 2 dla 4,6 kg	DCP [-]	CBR [%]	CBR średnie [%]	
0	0	110	0							
1	1	181	71	71	71,0	1	71,0	1,8		
1	2	203	93	22	22,0	1	22,0	8,2		
1	3	220	110	17	17,0	1	17,0	11,4		
1	4	232	122	12	12,0	1	12,0	17,8		
1	5	245	135	13	13,0	1	13,0	16,1		
1	6	256	146	11	11,0	1	11,0	19,9		
3	9	290	180	34	11,3	1	11,3	19,2		
3	12	318	208	28	9,3	1	9,3	24,6		
3	15	351	241	33	11,0	1	11,0	19,9		
3	18	391	281	40	13,3	1	13,3	15,6		
3	21	442	332	51	17,0	1	17,0	11,4		
3	24	491	381	49	16,3	1	16,3	12,0		
3	27	541	431	50	16,7	1	16,7	11,7		
									18,1	

km		1+000		Strona: wschodnia			Odl. od osi DS: 40 m			
Liczba uderzeń	Suma liczby uderzeń	Odczyt [mm]	Penetracja całkowita [mm]	Penetracja pomiędzy odcz. [mm]	Zagłębienie na 1 uderzenie [mm/1uderz.]	Współczynnik 1 dla 8 kg 2 dla 4,6 kg	DCP [-]	CBR [%]	CBR średnie [%]	
0	0	111	0							
1	1	161	50	50	50,0	1	50,0	2,9		
1	2	202	91	41	41,0	1	41,0	3,7		
1	3	230	119	28	28,0	1	28,0	6,0		
1	4	249	138	19	19,0	1	19,0	9,9		
1	5	270	159	21	21,0	1	21,0	8,7		
1	6	288	177	18	18,0	1	18,0	10,6		
3	9	341	230	53	17,7	1	17,7	10,9		
3	12	399	288	58	19,3	1	19,3	9,7		
3	15	488	377	89	29,7	1	29,7	5,6		
3	18	541	430	53	17,7	1	17,7	10,9		
									10,4	

km 1+000		Strona: wschodnia				Odl. od osi DS: 70 m			
Liczba uderzeń	Suma liczby uderzeń	Odczyt [mm]	Penetracja całkowita [mm]	Penetracja pomiędzy odcz. [mm]	Zagłębienie na 1 uderzenie [mm/1uderz.]	Współczynnik 1 dla 8 kg 2 dla 4,6 kg	DCP [-]	CBR [%]	CBR średnie [%]
0	0	106	0						
1	1	187	81	81	81,0	1	81,0	1,5	
1	2	213	107	26	26,0	1	26,0	6,6	
1	3	236	130	23	23,0	1	23,0	7,7	
1	4	258	152	22	22,0	1	22,0	8,2	
1	5	279	173	21	21,0	1	21,0	8,7	
1	6	296	190	17	17,0	1	17,0	11,4	
3	9	332	226	36	12,0	1	12,0	17,8	
3	12	356	250	24	8,0	1	8,0	29,9	
3	15	378	272	22	7,3	1	7,3	33,5	
3	18	400	294	22	7,3	1	7,3	33,5	
3	21	421	315	21	7,0	1	7,0	35,5	
3	24	442	336	21	7,0	1	7,0	35,5	
3	27	464	358	22	7,3	1	7,3	33,5	
3	30	487	381	23	7,7	1	7,7	31,6	
3	33	510	404	23	7,7	1	7,7	31,6	

km 1+100		Strona: wschodnia				Odl. od osi DS: 40 m			
Liczba uderzeń	Suma liczby uderzeń	Odczyt [mm]	Penetracja całkowita [mm]	Penetracja pomiędzy odcz. [mm]	Zagłębienie na 1 uderzenie [mm/1uderz.]	Współczynnik 1 dla 8 kg 2 dla 4,6 kg	DCP [-]	CBR [%]	CBR średnie [%]
0	0	103	0						
1	1	154	51	51	51,0	1	51,0	2,8	
1	2	182	79	28	28,0	1	28,0	6,0	
1	3	205	102	23	23,0	1	23,0	7,7	
1	4	226	123	21	21,0	1	21,0	8,7	
1	5	242	139	16	16,0	1	16,0	12,3	
1	6	253	150	11	11,0	1	11,0	19,9	
3	9	280	177	27	9,0	1	9,0	25,7	
3	12	307	204	27	9,0	1	9,0	25,7	
3	15	342	239	35	11,7	1	11,7	18,5	
3	18	376	273	34	11,3	1	11,3	19,2	
3	21	404	301	28	9,3	1	9,3	24,6	
3	24	425	322	21	7,0	1	7,0	35,5	
3	27	444	341	19	6,3	1	6,3	40,4	
3	30	463	360	19	6,3	1	6,3	40,4	
3	33	487	384	24	8,0	1	8,0	29,9	
3	36	507	404	20	6,7	1	6,7	37,8	

km 1+100		Strona: wschodnia				Odl. od osi DS: 70 m			
Liczba uderzeń	Suma liczby uderzeń	Odczyt [mm]	Penetracja całkowita [mm]	Penetracja pomiędzy odcz. [mm]	Zagłębienie na 1 uderzenie [mm/1uderz.]	Współczynnik 1 dla 8 kg 2 dla 4,6 kg	DCP [-]	CBR [%]	CBR średnie [%]
0	0	112	0						
1	1	183	71	71	71,0	1	71,0	1,8	
1	2	213	101	30	30,0	1	30,0	5,5	
1	3	237	125	24	24,0	1	24,0	7,3	
1	4	261	149	24	24,0	1	24,0	7,3	
1	5	282	170	21	21,0	1	21,0	8,7	
1	6	303	191	21	21,0	1	21,0	8,7	
3	9	360	248	57	19,0	1	19,0	9,9	
3	12	403	291	43	14,3	1	14,3	14,2	
3	15	434	322	31	10,3	1	10,3	21,6	
3	18	462	350	28	9,3	1	9,3	24,6	
3	21	489	377	27	9,0	1	9,0	25,7	
3	24	516	404	27	9,0	1	9,0	25,7	

km 1+200		Strona: wschodnia				Odl. od osi DS: 40 m			
Liczba uderzeń	Suma liczby uderzeń	Odczyt [mm]	Penetracja całkowita [mm]	Penetracja pomiędzy odcz. [mm]	Zagłębienie na 1 uderzenie [mm/1uderz.]	Współczynnik 1 dla 8 kg 2 dla 4,6 kg	DCP [-]	CBR [%]	CBR średnie [%]
0	0	108	0						
1	1	169	61	61	61,0	1	61,0	2,2	
1	2	199	91	30	30,0	1	30,0	5,5	
1	3	212	104	13	13,0	1	13,0	16,1	
1	4	223	115	11	11,0	1	11,0	19,9	
1	5	234	126	11	11,0	1	11,0	19,9	
1	6	243	135	9	9,0	1	9,0	25,7	
3	9	267	159	24	8,0	1	8,0	29,9	
3	12	288	180	21	7,0	1	7,0	35,5	
3	15	312	204	24	8,0	1	8,0	29,9	
3	18	335	227	23	7,7	1	7,7	31,6	
3	21	354	246	19	6,3	1	6,3	40,4	
3	24	373	265	19	6,3	1	6,3	40,4	
3	27	390	282	17	5,7	1	5,7	46,5	
3	30	406	298	16	5,3	1	5,3	50,3	
3	33	420	312	14	4,7	1	4,7	59,7	
3	36	444	336	24	8,0	1	8,0	29,9	
3	39	465	357	21	7,0	1	7,0	35,5	
3	42	481	373	16	5,3	1	5,3	50,3	
3	45	492	384	11	3,7	1	3,7	81,2	
3	48	502	394	10	3,3	1	3,3	91,8	
									39,2

km 1+200		Strona: wschodnia				Odl. od osi DS: 70 m			
Liczba uderzeń	Suma liczby uderzeń	Odczyt [mm]	Penetracja całkowita [mm]	Penetracja pomiędzy odcz. [mm]	Zagłębienie na 1 uderzenie [mm/1uderz.]	Współczynnik 1 dla 8 kg 2 dla 4,6 kg	DCP [-]	CBR [%]	CBR średnie [%]
0	0	111	0						
1	1	199	88	88	88,0	1	88,0	1,4	
1	2	231	120	32	32,0	1	32,0	5,1	
1	3	257	146	26	26,0	1	26,0	6,6	
1	4	275	164	18	18,0	1	18,0	10,6	
1	5	291	180	16	16,0	1	16,0	12,3	
1	6	304	193	13	13,0	1	13,0	16,1	
3	9	340	229	36	12,0	1	12,0	17,8	
3	12	368	257	28	9,3	1	9,3	24,6	
3	15	397	286	29	9,7	1	9,7	23,5	
3	18	428	317	31	10,3	1	10,3	21,6	
3	21	478	367	50	16,7	1	16,7	11,7	
3	24	492	381	14	4,7	1	4,7	59,7	
3	27	528	417	36	12,0	1	12,0	17,8	
									18,1

km 1+300		Strona: wschodnia				Odl. od osi DS: 40 m			
Liczba uderzeń	Suma liczby uderzeń	Odczyt [mm]	Penetracja całkowita [mm]	Penetracja pomiędzy odcz. [mm]	Zagłębienie na 1 uderzenie [mm/1uderz.]	Współczynnik 1 dla 8 kg 2 dla 4,6 kg	DCP [-]	CBR [%]	CBR średnie [%]
0	0	97	0						
1	1	150	53	53	53,0	1	53,0	2,7	
1	2	178	81	28	28,0	1	28,0	6,0	
1	3	200	103	22	22,0	1	22,0	8,2	
1	4	218	121	18	18,0	1	18,0	10,6	
1	5	234	137	16	16,0	1	16,0	12,3	
1	6	245	148	11	11,0	1	11,0	19,9	
3	9	269	172	24	8,0	1	8,0	29,9	
3	12	285	188	16	5,3	1	5,3	50,3	
3	15	299	202	14	4,7	1	4,7	59,7	
3	18	313	216	14	4,7	1	4,7	59,7	
3	21	327	230	14	4,7	1	4,7	59,7	
3	24	342	245	15	5,0	1	5,0	54,6	
3	27	358	261	16	5,3	1	5,3	50,3	
3	30	377	280	19	6,3	1	6,3	40,4	
3	33	398	301	21	7,0	1	7,0	35,5	
3	36	422	325	24	8,0	1	8,0	29,9	
3	39	443	346	21	7,0	1	7,0	35,5	
3	42	462	365	19	6,3	1	6,3	40,4	
3	45	480	383	18	6,0	1	6,0	43,2	
									48,9

km 1+300			Strona: wschodnia			Odl. od osi DS: 70 m			
Liczba uderzeń	Suma liczby uderzeń	Odczyt [mm]	Penetracja całkowita [mm]	Penetracja pomiędzy odcz. [mm]	Zagłębienie na 1 uderzenie [mm/1uderz.]	Współczynnik 1 dla 8 kg 2 dla 4,6 kg	DCP [-]	CBR [%]	CBR średnie [%]
0	0	103	0						
1	1	176	73	73	73,0	1	73,0	1,8	
1	2	200	97	24	24,0	1	24,0	7,3	
1	3	219	116	19	19,0	1	19,0	9,9	
1	4	235	132	16	16,0	1	16,0	12,3	
1	5	249	146	14	14,0	1	14,0	14,6	
1	6	261	158	12	12,0	1	12,0	17,8	
3	9	304	201	43	14,3	1	14,3	14,2	
3	12	348	245	44	14,7	1	14,7	13,8	15,4
3	15	388	285	40	13,3	1	13,3	15,6	
3	18	428	325	40	13,3	1	13,3	15,6	
3	21	457	354	29	9,7	1	9,7	23,5	
3	24	472	369	15	5,0	1	5,0	54,6	
3	27	483	380	11	3,7	1	3,7	81,2	
3	30	493	390	10	3,3	1	3,3	91,8	

km 1+400			Strona: wschodnia			Odl. od osi DS: 40 m			
Liczba uderzeń	Suma liczby uderzeń	Odczyt [mm]	Penetracja całkowita [mm]	Penetracja pomiędzy odcz. [mm]	Zagłębienie na 1 uderzenie [mm/1uderz.]	Współczynnik 1 dla 8 kg 2 dla 4,6 kg	DCP [-]	CBR [%]	CBR średnie [%]
0	0	112	0						
1	1	171	59	59	59,0	1	59,0	2,3	
1	2	198	86	27	27,0	1	27,0	6,3	
1	3	219	107	21	21,0	1	21,0	8,7	
1	4	236	124	17	17,0	1	17,0	11,4	
1	5	248	136	12	12,0	1	12,0	17,8	
1	6	263	151	15	15,0	1	15,0	13,4	
3	9	290	178	27	9,0	1	9,0	25,7	
3	12	308	196	18	6,0	1	6,0	43,2	
3	15	336	224	28	9,3	1	9,3	24,6	25,0
3	18	378	266	42	14,0	1	14,0	14,6	
3	21	416	304	38	12,7	1	12,7	16,6	
3	24	448	336	32	10,7	1	10,7	20,7	
3	27	477	365	29	9,7	1	9,7	23,5	
3	30	504	392	27	9,0	1	9,0	25,7	

km 1+400			Strona: wschodnia			Odl. od osi DS: 70 m			
Liczba uderzeń	Suma liczby uderzeń	Odczyt [mm]	Penetracja całkowita [mm]	Penetracja pomiędzy odcz. [mm]	Zagłębienie na 1 uderzenie [mm/1uderz.]	Współczynnik 1 dla 8 kg 2 dla 4,6 kg	DCP [-]	CBR [%]	CBR średnie [%]
0	0	103	0						
1	1	179	76	76	76,0	1	76,0	1,7	
1	2	205	102	26	26,0	1	26,0	6,6	
1	3	225	122	20	20,0	1	20,0	9,3	
1	4	243	140	18	18,0	1	18,0	10,6	
1	5	258	155	15	15,0	1	15,0	13,4	
1	6	272	169	14	14,0	1	14,0	14,6	
3	9	303	200	31	10,3	1	10,3	21,6	
3	12	323	220	20	6,7	1	6,7	37,8	
3	15	347	244	24	8,0	1	8,0	29,9	
3	18	363	260	16	5,3	1	5,3	50,3	
3	21	376	273	13	4,3	1	4,3	65,6	52,7
3	24	387	284	11	3,7	1	3,7	81,2	
3	27	398	295	11	3,7	1	3,7	81,2	
3	30	408	305	10	3,3	1	3,3	91,8	
3	33	419	316	11	3,7	1	3,7	81,2	
3	36	431	328	12	4,0	1	4,0	72,7	
3	39	445	342	14	4,7	1	4,7	59,7	
3	42	462	359	17	5,7	1	5,7	46,5	
3	45	481	378	19	6,3	1	6,3	40,4	
3	48	502	399	21	7,0	1	7,0	35,5	

km	1+500	Strona: wschodnia				Odl. od osi DS: 40 m			
Liczba uderzeń	Suma liczby uderzeń	Odczyt [mm]	Penetracja całkowita [mm]	Penetracja pomiędzy odcz. [mm]	Zagłębienie na 1 uderzenie [mm/1uderz.]	Współczynnik 1 dla 8 kg 2 dla 4,6 kg	DCP [-]	CBR [%]	CBR średnie [%]
0	0	100	0						
1	1	161	61	61	61,0	1	61,0	2,2	
1	2	187	87	26	26,0	1	26,0	6,6	
1	3	210	110	23	23,0	1	23,0	7,7	
1	4	228	128	18	18,0	1	18,0	10,6	
1	5	245	145	17	17,0	1	17,0	11,4	
1	6	258	158	13	13,0	1	13,0	16,1	
3	9	281	181	23	7,7	1	7,7	31,6	
3	12	298	198	17	5,7	1	5,7	46,5	
3	15	317	217	19	6,3	1	6,3	40,4	
3	18	335	235	18	6,0	1	6,0	43,2	
3	21	358	258	23	7,7	1	7,7	31,6	
3	24	374	274	16	5,3	1	5,3	50,3	
3	27	397	297	23	7,7	1	7,7	31,6	
3	30	420	320	23	7,7	1	7,7	31,6	
3	33	447	347	27	9,0	1	9,0	25,7	
3	36	477	377	30	10,0	1	10,0	22,5	
3	39	511	411	34	11,3	1	11,3	19,2	

39,3

km	1+500	Strona: wschodnia				Odl. od osi DS: 70 m			
Liczba uderzeń	Suma liczby uderzeń	Odczyt [mm]	Penetracja całkowita [mm]	Penetracja pomiędzy odcz. [mm]	Zagłębienie na 1 uderzenie [mm/1uderz.]	Współczynnik 1 dla 8 kg 2 dla 4,6 kg	DCP [-]	CBR [%]	CBR średnie [%]
0	0	104	0						
1	1	156	52	52	52,0	1	52,0	2,7	
1	2	187	83	31	31,0	1	31,0	5,3	
1	3	213	109	26	26,0	1	26,0	6,6	
1	4	232	128	19	19,0	1	19,0	9,9	
1	5	245	141	13	13,0	1	13,0	16,1	
1	6	259	155	14	14,0	1	14,0	14,6	
3	9	294	190	35	11,7	1	11,7	18,5	
3	12	315	211	21	7,0	1	7,0	35,5	
3	15	345	241	30	10,0	1	10,0	22,5	
3	18	364	260	19	6,3	1	6,3	40,4	
3	21	384	280	20	6,7	1	6,7	37,8	
3	24	403	299	19	6,3	1	6,3	40,4	
3	27	425	321	22	7,3	1	7,3	33,5	
3	30	443	339	18	6,0	1	6,0	43,2	
3	33	456	352	13	4,3	1	4,3	65,6	
3	36	490	386	34	11,3	1	11,3	19,2	
3	39	511	407	21	7,0	1	7,0	35,5	

32,5

km	1+600	Strona: wschodnia				Odl. od osi DS: 40 m			
Liczba uderzeń	Suma liczby uderzeń	Odczyt [mm]	Penetracja całkowita [mm]	Penetracja pomiędzy odcz. [mm]	Zagłębienie na 1 uderzenie [mm/1uderz.]	Współczynnik 1 dla 8 kg 2 dla 4,6 kg	DCP [-]	CBR [%]	CBR średnie [%]
0	0	121	0						
1	1	173	52	52	52,0	1	52,0	2,7	
1	2	196	75	23	23,0	1	23,0	7,7	
1	3	210	89	14	14,0	1	14,0	14,6	
1	4	220	99	10	10,0	1	10,0	22,5	
1	5	228	107	8	8,0	1	8,0	29,9	
1	6	237	116	9	9,0	1	9,0	25,7	
3	9	258	137	21	7,0	1	7,0	35,5	
3	12	272	151	14	4,7	1	4,7	59,7	
3	15	287	166	15	5,0	1	5,0	54,6	
3	18	302	181	15	5,0	1	5,0	54,6	
3	21	318	197	16	5,3	1	5,3	50,3	
3	24	342	221	24	8,0	1	8,0	29,9	
3	27	369	248	27	9,0	1	9,0	25,7	
3	30	393	272	24	8,0	1	8,0	29,9	
3	33	421	300	28	9,3	1	9,3	24,6	
3	36	452	331	31	10,3	1	10,3	21,6	
3	39	489	368	37	12,3	1	12,3	17,2	
3	42	519	398	30	10,0	1	10,0	22,5	

41,2

km 1+600		Strona: wschodnia				Odl. od osi DS: 70 m			
Liczba uderzeń	Suma liczby uderzeń	Odczyt [mm]	Penetracja całkowita [mm]	Penetracja pomiędzy odcz. [mm]	Zagłębienie na 1 uderzenie [mm/1uderz.]	Współczynnik 1 dla 8 kg 2 dla 4,6 kg	DCP [-]	CBR [%]	CBR średnie [%]
0	0	106	0						
1	1	190	84	84	84,0	1	84,0	1,5	
1	2	224	118	34	34,0	1	34,0	4,7	
1	3	243	137	19	19,0	1	19,0	9,9	
1	4	263	157	20	20,0	1	20,0	9,3	
1	5	282	176	19	19,0	1	19,0	9,9	
1	6	300	194	18	18,0	1	18,0	10,6	
3	9	352	246	52	17,3	1	17,3	11,1	10,0
3	12	417	311	65	21,7	1	21,7	8,4	
3	15	474	368	57	19,0	1	19,0	9,9	
3	18	503	397	29	9,7	1	9,7	23,5	

km 1+700		Strona: wschodnia				Odl. od osi DS: 40 m			
Liczba uderzeń	Suma liczby uderzeń	Odczyt [mm]	Penetracja całkowita [mm]	Penetracja pomiędzy odcz. [mm]	Zagłębienie na 1 uderzenie [mm/1uderz.]	Współczynnik 1 dla 8 kg 2 dla 4,6 kg	DCP [-]	CBR [%]	CBR średnie [%]
0	0	119	0						
1	1	169	50	50	50,0	1	50,0	2,9	
1	2	190	71	21	21,0	1	21,0	8,7	
1	3	208	89	18	18,0	1	18,0	10,6	
1	4	221	102	13	13,0	1	13,0	16,1	
1	5	237	118	16	16,0	1	16,0	12,3	
1	6	248	129	11	11,0	1	11,0	19,9	
3	9	267	148	19	6,3	1	6,3	40,4	
3	12	283	164	16	5,3	1	5,3	50,3	
3	15	298	179	15	5,0	1	5,0	54,6	
3	18	313	194	15	5,0	1	5,0	54,6	
3	21	328	209	15	5,0	1	5,0	54,6	
3	24	342	223	14	4,7	1	4,7	59,7	
3	27	357	238	15	5,0	1	5,0	54,6	53,3
3	30	378	259	21	7,0	1	7,0	35,5	
3	33	390	271	12	4,0	1	4,0	72,7	
3	36	407	288	17	5,7	1	5,7	46,5	
3	39	423	304	16	5,3	1	5,3	50,3	
3	42	441	322	18	6,0	1	6,0	43,2	
3	45	460	341	19	6,3	1	6,3	40,4	
3	48	480	361	20	6,7	1	6,7	37,8	
3	51	499	380	19	6,3	1	6,3	40,4	

km 1+700		Strona: wschodnia				Odl. od osi DS: 70 m			
Liczba uderzeń	Suma liczby uderzeń	Odczyt [mm]	Penetracja całkowita [mm]	Penetracja pomiędzy odcz. [mm]	Zagłębienie na 1 uderzenie [mm/1uderz.]	Współczynnik 1 dla 8 kg 2 dla 4,6 kg	DCP [-]	CBR [%]	CBR średnie [%]
0	0	100	0						
1	1	153	53	53	53,0	1	53,0	2,7	
1	2	178	78	25	25,0	1	25,0	7,0	
1	3	195	95	17	17,0	1	17,0	11,4	
1	4	207	107	12	12,0	1	12,0	17,8	
1	5	220	120	13	13,0	1	13,0	16,1	
1	6	232	132	12	12,0	1	12,0	17,8	
3	9	271	171	39	13,0	1	13,0	16,1	
3	12	309	209	38	12,7	1	12,7	16,6	
3	15	340	240	31	10,3	1	10,3	21,6	
3	18	361	261	21	7,0	1	7,0	35,5	
3	21	379	279	18	6,0	1	6,0	43,2	
3	24	395	295	16	5,3	1	5,3	50,3	
3	27	407	307	12	4,0	1	4,0	72,7	
3	30	420	320	13	4,3	1	4,3	65,6	
3	33	431	331	11	3,7	1	3,7	81,2	
3	36	442	342	11	3,7	1	3,7	81,2	
3	39	458	358	16	5,3	1	5,3	50,3	
3	42	472	372	14	4,7	1	4,7	59,7	
3	45	484	384	12	4,0	1	4,0	72,7	
3	48	499	399	15	5,0	1	5,0	54,6	

km 1+800		Strona: wschodnia				Odl. od osi DS: 40 m			
Liczba uderzeń	Suma liczby uderzeń	Odczyt [mm]	Penetracja całkowita [mm]	Penetracja pomiędzy odcz. [mm]	Zagłębienie na 1 uderzenie [mm/1uderz.]	Współczynnik 1 dla 8 kg 2 dla 4,6 kg	DCP [-]	CBR [%]	CBR średnie [%]
0	0	107	0						
1	1	155	48	48	48,0	1	48,0	3,0	
1	2	177	70	22	22,0	1	22,0	8,2	
1	3	197	90	20	20,0	1	20,0	9,3	
1	4	213	106	16	16,0	1	16,0	12,3	
1	5	226	119	13	13,0	1	13,0	16,1	
1	6	240	133	14	14,0	1	14,0	14,6	
3	9	273	166	33	11,0	1	11,0	19,9	
3	12	293	186	20	6,7	1	6,7	37,8	
3	15	308	201	15	5,0	1	5,0	54,6	
3	18	324	217	16	5,3	1	5,3	50,3	
3	21	339	232	15	5,0	1	5,0	54,6	
3	24	357	250	18	6,0	1	6,0	43,2	
3	27	376	269	19	6,3	1	6,3	40,4	
3	30	395	288	19	6,3	1	6,3	40,4	
3	33	414	307	19	6,3	1	6,3	40,4	
3	36	436	329	22	7,3	1	7,3	33,5	
3	39	458	351	22	7,3	1	7,3	33,5	
3	42	482	375	24	8,0	1	8,0	29,9	
									42,4

km 1+800		Strona: wschodnia				Odl. od osi DS: 70 m			
Liczba uderzeń	Suma liczby uderzeń	Odczyt [mm]	Penetracja całkowita [mm]	Penetracja pomiędzy odcz. [mm]	Zagłębienie na 1 uderzenie [mm/1uderz.]	Współczynnik 1 dla 8 kg 2 dla 4,6 kg	DCP [-]	CBR [%]	CBR średnie [%]
0	0	101	0						
1	1	164	63	63	63,0	1	63,0	2,1	
1	2	185	84	21	21,0	1	21,0	8,7	
1	3	196	95	11	11,0	1	11,0	19,9	
1	4	205	104	9	9,0	1	9,0	25,7	
1	5	215	114	10	10,0	1	10,0	22,5	
1	6	223	122	8	8,0	1	8,0	29,9	
3	9	250	149	27	9,0	1	9,0	25,7	
3	12	281	180	31	10,3	1	10,3	21,6	
3	15	313	212	32	10,7	1	10,7	20,7	
3	18	341	240	28	9,3	1	9,3	24,6	
3	21	361	260	20	6,7	1	6,7	37,8	
3	24	384	283	23	7,7	1	7,7	31,6	
3	27	404	303	20	6,7	1	6,7	37,8	
3	30	424	323	20	6,7	1	6,7	37,8	
3	33	443	342	19	6,3	1	6,3	40,4	
3	36	460	359	17	5,7	1	5,7	46,5	
3	39	475	374	15	5,0	1	5,0	54,6	
3	42	485	384	10	3,3	1	3,3	91,8	
									29,0

km 1+900		Strona: wschodnia				Odl. od osi DS: 40 m			
Liczba uderzeń	Suma liczby uderzeń	Odczyt [mm]	Penetracja całkowita [mm]	Penetracja pomiędzy odcz. [mm]	Zagłębienie na 1 uderzenie [mm/1uderz.]	Współczynnik 1 dla 8 kg 2 dla 4,6 kg	DCP [-]	CBR [%]	CBR średnie [%]
0	0	103	0						
1	1	157	54	54	54,0	1	54,0	2,6	
1	2	176	73	19	19,0	1	19,0	9,9	
1	3	192	89	16	16,0	1	16,0	12,3	
1	4	205	102	13	13,0	1	13,0	16,1	
1	5	218	115	13	13,0	1	13,0	16,1	
1	6	229	126	11	11,0	1	11,0	19,9	
3	9	257	154	28	9,3	1	9,3	24,6	
3	12	281	178	24	8,0	1	8,0	29,9	
3	15	301	198	20	6,7	1	6,7	37,8	
3	18	320	217	19	6,3	1	6,3	40,4	
3	21	340	237	20	6,7	1	6,7	37,8	
3	24	359	256	19	6,3	1	6,3	40,4	
3	27	378	275	19	6,3	1	6,3	40,4	
3	30	397	294	19	6,3	1	6,3	40,4	
3	33	419	316	22	7,3	1	7,3	33,5	
3	36	448	345	29	9,7	1	9,7	23,5	
3	39	491	388	43	14,3	1	14,3	14,2	
									38,1

km 1+900		Strona: wschodnia				Odl. od osi DS: 70 m			
Liczba uderzeń	Suma liczby uderzeń	Odczyt [mm]	Penetracja całkowita [mm]	Penetracja pomiędzy odcz. [mm]	Zagłębienie na 1 uderzenie [mm/1uderz.]	Współczynnik 1 dla 8 kg 2 dla 4,6 kg	DCP [-]	CBR [%]	CBR średnie [%]
0	0	104	0						
1	1	162	58	58	58,0	1	58,0	2,4	
1	2	188	84	26	26,0	1	26,0	6,6	
1	3	210	106	22	22,0	1	22,0	8,2	
1	4	231	127	21	21,0	1	21,0	8,7	
1	5	248	144	17	17,0	1	17,0	11,4	
1	6	267	163	19	19,0	1	19,0	9,9	
3	9	321	217	54	18,0	1	18,0	10,6	
3	12	359	255	38	12,7	1	12,7	16,6	
3	15	391	287	32	10,7	1	10,7	20,7	
3	18	416	312	25	8,3	1	8,3	28,4	
3	21	438	334	22	7,3	1	7,3	33,5	
3	24	459	355	21	7,0	1	7,0	35,5	
3	27	482	378	23	7,7	1	7,7	31,6	
3	30	501	397	19	6,3	1	6,3	40,4	
									17,2

km 2+100		Strona: wschodnia				Odl. od osi DS: 40 m			
Liczba uderzeń	Suma liczby uderzeń	Odczyt [mm]	Penetracja całkowita [mm]	Penetracja pomiędzy odcz. [mm]	Zagłębienie na 1 uderzenie [mm/1uderz.]	Współczynnik 1 dla 8 kg 2 dla 4,6 kg	DCP [-]	CBR [%]	CBR średnie [%]
0	0	108	0						
1	1	159	51	51	51,0	1	51,0	2,8	
1	2	192	84	33	33,0	1	33,0	4,9	
1	3	216	108	24	24,0	1	24,0	7,3	
1	4	236	128	20	20,0	1	20,0	9,3	
1	5	260	152	24	24,0	1	24,0	7,3	
1	6	281	173	21	21,0	1	21,0	8,7	
3	9	329	221	48	16,0	1	16,0	12,3	
3	12	382	274	53	17,7	1	17,7	10,9	
3	15	433	325	51	17,0	1	17,0	11,4	
3	18	478	370	45	15,0	1	15,0	13,4	
3	21	517	409	39	13,0	1	13,0	16,1	
									10,8

km 2+100		Strona: wschodnia				Odl. od osi DS: 70 m			
Liczba uderzeń	Suma liczby uderzeń	Odczyt [mm]	Penetracja całkowita [mm]	Penetracja pomiędzy odcz. [mm]	Zagłębienie na 1 uderzenie [mm/1uderz.]	Współczynnik 1 dla 8 kg 2 dla 4,6 kg	DCP [-]	CBR [%]	CBR średnie [%]
0	0	105	0						
1	1	162	57	57	57,0	1	57,0	2,4	
1	2	181	76	19	19,0	1	19,0	9,9	
1	3	196	91	15	15,0	1	15,0	13,4	
1	4	210	105	14	14,0	1	14,0	14,6	
1	5	222	117	12	12,0	1	12,0	17,8	
1	6	238	133	16	16,0	1	16,0	12,3	
3	9	266	161	28	9,3	1	9,3	24,6	
3	12	298	193	32	10,7	1	10,7	20,7	
3	15	332	227	34	11,3	1	11,3	19,2	
3	18	364	259	32	10,7	1	10,7	20,7	
3	21	393	288	29	9,7	1	9,7	23,5	
3	24	415	310	22	7,3	1	7,3	33,5	
3	27	436	331	21	7,0	1	7,0	35,5	
3	30	461	356	25	8,3	1	8,3	28,4	
3	33	484	379	23	7,7	1	7,7	31,6	
3	36	508	403	24	8,0	1	8,0	29,9	
									23,7

km 2+200		Strona: wschodnia				Odl. od osi DS: 40 m			
Liczba uderzeń	Suma liczby uderzeń	Odczyt [mm]	Penetracja całkowita [mm]	Penetracja pomiędzy odcz. [mm]	Zagłębienie na 1 uderzenie [mm/1uderz.]	Współczynnik 1 dla 8 kg 2 dla 4,6 kg	DCP [-]	CBR [%]	CBR średnie [%]
0	0	104	0						
1	1	171	67	67	67,0	1	67,0	2,0	
1	2	199	95	28	28,0	1	28,0	6,0	
1	3	221	117	22	22,0	1	22,0	8,2	
1	4	237	133	16	16,0	1	16,0	12,3	
1	5	254	150	17	17,0	1	17,0	11,4	
1	6	267	163	13	13,0	1	13,0	16,1	
3	9	303	199	36	12,0	1	12,0	17,8	
3	12	342	238	39	13,0	1	13,0	16,1	
3	15	368	264	26	8,7	1	8,7	27,0	
3	18	390	286	22	7,3	1	7,3	33,5	
3	21	415	311	25	8,3	1	8,3	28,4	
3	24	446	342	31	10,3	1	10,3	21,6	
3	27	478	374	32	10,7	1	10,7	20,7	
3	30	515	411	37	12,3	1	12,3	17,2	
									23,1

km 2+200		Strona: wschodnia				Odl. od osi DS: 70 m			
Liczba uderzeń	Suma liczby uderzeń	Odczyt [mm]	Penetracja całkowita [mm]	Penetracja pomiędzy odcz. [mm]	Zagłębienie na 1 uderzenie [mm/1uderz.]	Współczynnik 1 dla 8 kg 2 dla 4,6 kg	DCP [-]	CBR [%]	CBR średnie [%]
0	0	125	0						
1	1	177	52	52	52,0	1	52,0	2,7	
1	2	204	79	27	27,0	1	27,0	6,3	
1	3	225	100	21	21,0	1	21,0	8,7	
1	4	241	116	16	16,0	1	16,0	12,3	
1	5	256	131	15	15,0	1	15,0	13,4	
1	6	268	143	12	12,0	1	12,0	17,8	
3	9	297	172	29	9,7	1	9,7	23,5	
3	12	321	196	24	8,0	1	8,0	29,9	
3	15	339	214	18	6,0	1	6,0	43,2	
3	18	356	231	17	5,7	1	5,7	46,5	
3	21	374	249	18	6,0	1	6,0	43,2	
3	24	401	276	27	9,0	1	9,0	25,7	
3	27	426	301	25	8,3	1	8,3	28,4	
3	30	443	318	17	5,7	1	5,7	46,5	
3	33	457	332	14	4,7	1	4,7	59,7	
3	36	469	344	12	4,0	1	4,0	72,7	
3	39	481	356	12	4,0	1	4,0	72,7	
3	42	493	368	12	4,0	1	4,0	72,7	
3	45	506	381	13	4,3	1	4,3	65,6	
									34,4

km 2+300		Strona: wschodnia				Odl. od osi DS: 40 m			
Liczba uderzeń	Suma liczby uderzeń	Odczyt [mm]	Penetracja całkowita [mm]	Penetracja pomiędzy odcz. [mm]	Zagłębienie na 1 uderzenie [mm/1uderz.]	Współczynnik 1 dla 8 kg 2 dla 4,6 kg	DCP [-]	CBR [%]	CBR średnie [%]
0	0	110	0						
1	1	172	62	62	62,0	1	62,0	2,2	
1	2	199	89	27	27,0	1	27,0	6,3	
1	3	217	107	18	18,0	1	18,0	10,6	
1	4	223	113	6	6,0	1	6,0	43,2	
1	5	249	139	26	26,0	1	26,0	6,6	
1	6	265	155	16	16,0	1	16,0	12,3	
3	9	294	184	29	9,7	1	9,7	23,5	
3	12	323	213	29	9,7	1	9,7	23,5	
3	15	353	243	30	10,0	1	10,0	22,5	
3	18	382	272	29	9,7	1	9,7	23,5	
3	21	407	297	25	8,3	1	8,3	28,4	
3	24	431	321	24	8,0	1	8,0	29,9	
3	27	455	345	24	8,0	1	8,0	29,9	
3	30	478	368	23	7,7	1	7,7	31,6	
3	33	503	393	25	8,3	1	8,3	28,4	
									24,3

km 2+300		Strona: wschodnia				Odl. od osi DS: 70 m			
Liczba uderzeń	Suma liczby uderzeń	Odczyt [mm]	Penetracja całkowita [mm]	Penetracja pomiędzy odcz. [mm]	Zagłębienie na 1 uderzenie [mm/1uderz.]	Współczynnik 1 dla 8 kg 2 dla 4,6 kg	DCP [-]	CBR [%]	CBR średnie [%]
0	0	118	0						
1	1	170	52	52	52,0	1	52,0	2,7	
1	2	191	73	21	21,0	1	21,0	8,7	
1	3	213	95	22	22,0	1	22,0	8,2	
1	4	235	117	22	22,0	1	22,0	8,2	
1	5	252	134	17	17,0	1	17,0	11,4	
1	6	266	148	14	14,0	1	14,0	14,6	
3	9	315	197	49	16,3	1	16,3	12,0	
3	12	348	230	33	11,0	1	11,0	19,9	
3	15	368	250	20	6,7	1	6,7	37,8	
3	18	390	272	22	7,3	1	7,3	33,5	
3	21	422	304	32	10,7	1	10,7	20,7	
3	24	457	339	35	11,7	1	11,7	18,5	
3	27	491	373	34	11,3	1	11,3	19,2	
3	30	527	409	36	12,0	1	12,0	17,8	

km 2+400		Strona: wschodnia				Odl. od osi DS: 40 m			
Liczba uderzeń	Suma liczby uderzeń	Odczyt [mm]	Penetracja całkowita [mm]	Penetracja pomiędzy odcz. [mm]	Zagłębienie na 1 uderzenie [mm/1uderz.]	Współczynnik 1 dla 8 kg 2 dla 4,6 kg	DCP [-]	CBR [%]	CBR średnie [%]
0	0	123	0						
1	1	187	64	64	64,0	1	64,0	2,1	
1	2	214	91	27	27,0	1	27,0	6,3	
1	3	236	113	22	22,0	1	22,0	8,2	
1	4	254	131	18	18,0	1	18,0	10,6	
1	5	268	145	14	14,0	1	14,0	14,6	
1	6	280	157	12	12,0	1	12,0	17,8	
3	9	324	201	44	14,7	1	14,7	13,8	
3	12	365	242	41	13,7	1	13,7	15,1	
3	15	400	277	35	11,7	1	11,7	18,5	
3	18	433	310	33	11,0	1	11,0	19,9	
3	21	462	339	29	9,7	1	9,7	23,5	
3	24	487	364	25	8,3	1	8,3	28,4	
3	27	509	386	22	7,3	1	7,3	33,5	

km 2+400		Strona: wschodnia				Odl. od osi DS: 70 m			
Liczba uderzeń	Suma liczby uderzeń	Odczyt [mm]	Penetracja całkowita [mm]	Penetracja pomiędzy odcz. [mm]	Zagłębienie na 1 uderzenie [mm/1uderz.]	Współczynnik 1 dla 8 kg 2 dla 4,6 kg	DCP [-]	CBR [%]	CBR średnie [%]
0	0	112	0						
1	1	156	44	44	44,0	1	44,0	3,4	
1	2	181	69	25	25,0	1	25,0	7,0	
1	3	199	87	18	18,0	1	18,0	10,6	
1	4	214	102	15	15,0	1	15,0	13,4	
1	5	228	116	14	14,0	1	14,0	14,6	
1	6	242	130	14	14,0	1	14,0	14,6	
3	9	270	158	28	9,3	1	9,3	24,6	
3	12	292	180	22	7,3	1	7,3	33,5	
3	15	306	194	14	4,7	1	4,7	59,7	
3	18	322	210	16	5,3	1	5,3	50,3	
3	21	343	231	21	7,0	1	7,0	35,5	
3	24	363	251	20	6,7	1	6,7	37,8	
3	27	381	269	18	6,0	1	6,0	43,2	
3	30	401	289	20	6,7	1	6,7	37,8	
3	33	415	303	14	4,7	1	4,7	59,7	
3	36	434	322	19	6,3	1	6,3	40,4	
3	39	456	344	22	7,3	1	7,3	33,5	
3	42	482	370	26	8,7	1	8,7	27,0	
3	45	513	401	31	10,3	1	10,3	21,6	

km		2500		Strona: wschodnia			Odl. od osi DS: 40 m			
Liczba uderzeń	Suma liczby uderzeń	Odczyt [mm]	Penetracja całkowita [mm]	Penetracja pomiędzy odcz. [mm]	Zagłębienie na 1 uderzenie [mm/1uderz.]	Współczynnik 1 dla 8 kg 2 dla 4,6 kg	DCP [-]	CBR [%]	CBR średnie [%]	
0	0	113	0							
1	1	203	90	90	90,0	1	90,0	1,4		
1	2	223	110	20	20,0	1	20,0	9,3		
1	3	241	128	18	18,0	1	18,0	10,6		
1	4	252	139	11	11,0	1	11,0	19,9		
1	5	264	151	12	12,0	1	12,0	17,8		
1	6	275	162	11	11,0	1	11,0	19,9		
3	9	302	189	27	9,0	1	9,0	25,7		
3	12	323	210	21	7,0	1	7,0	35,5		
3	15	335	222	12	4,0	1	4,0	72,7		
3	18	356	243	21	7,0	1	7,0	35,5		
3	21	369	256	13	4,3	1	4,3	65,6		
3	24	387	274	18	6,0	1	6,0	43,2		
3	27	404	291	17	5,7	1	5,7	46,5		
3	30	416	303	12	4,0	1	4,0	72,7		
3	33	433	320	17	5,7	1	5,7	46,5		
3	36	450	337	17	5,7	1	5,7	46,5		
3	39	467	354	17	5,7	1	5,7	46,5		
3	42	485	372	18	6,0	1	6,0	43,2		
3	45	502	389	17	5,7	1	5,7	46,5		

km		2500		Strona: wschodnia			Odl. od osi DS: 70 m			
Liczba uderzeń	Suma liczby uderzeń	Odczyt [mm]	Penetracja całkowita [mm]	Penetracja pomiędzy odcz. [mm]	Zagłębienie na 1 uderzenie [mm/1uderz.]	Współczynnik 1 dla 8 kg 2 dla 4,6 kg	DCP [-]	CBR [%]	CBR średnie [%]	
0	0	104	0							
1	1	183	79	79	79,0	1	79,0	1,6		
1	2	214	110	31	31,0	1	31,0	5,3		
1	3	238	134	24	24,0	1	24,0	7,3		
1	4	261	157	23	23,0	1	23,0	7,7		
1	5	283	179	22	22,0	1	22,0	8,2		
1	6	302	198	19	19,0	1	19,0	9,9		
3	9	368	264	66	22,0	1	22,0	8,2		
3	12	421	317	53	17,7	1	17,7	10,9		
3	15	467	363	46	15,3	1	15,3	13,0		
3	18	509	405	42	14,0	1	14,0	14,6		

km 0-030		Strona: zachodnia				Odl. od osi DS: 20 m			Próg 01
Liczba uderzeń	Suma liczby uderzeń	Odczyt [mm]	Penetracja całkowita [mm]	Penetracja pomiędzy odcz. [mm]	Zagłębienie na 1 uderzenie [mm/1uderz.]	Współczynnik 1 dla 8 kg 2 dla 4,6 kg	DCP [-]	CBR [%]	CBR średnie [%]
0	0	100	0						
1	1	161	61	61	61,0	1	61,0	2,2	
1	2	187	87	26	26,0	1	26,0	6,6	
1	3	202	102	15	15,0	1	15,0	13,4	
1	4	211	111	9	9,0	1	9,0	25,7	
1	5	218	118	7	7,0	1	7,0	35,5	
1	6	227	127	9	9,0	1	9,0	25,7	
3	9	242	142	15	5,0	1	5,0	54,6	
3	12	259	159	17	5,7	1	5,7	46,5	
3	15	274	174	15	5,0	1	5,0	54,6	
3	18	290	190	16	5,3	1	5,3	50,3	
3	21	307	207	17	5,7	1	5,7	46,5	
3	24	325	225	18	6,0	1	6,0	43,2	
3	27	344	244	19	6,3	1	6,3	40,4	
3	30	364	264	20	6,7	1	6,7	37,8	
3	33	385	285	21	7,0	1	7,0	35,5	
3	36	407	307	22	7,3	1	7,3	33,5	
3	39	429	329	22	7,3	1	7,3	33,5	
3	42	453	353	24	8,0	1	8,0	29,9	
3	45	476	376	23	7,7	1	7,7	31,6	
3	48	501	401	25	8,3	1	8,3	28,4	
									43,1

km 0-050		Strona: zachodnia				Odl. od osi DS: 20 m			Próg 01
Liczba uderzeń	Suma liczby uderzeń	Odczyt [mm]	Penetracja całkowita [mm]	Penetracja pomiędzy odcz. [mm]	Zagłębienie na 1 uderzenie [mm/1uderz.]	Współczynnik 1 dla 8 kg 2 dla 4,6 kg	DCP [-]	CBR [%]	CBR średnie [%]
0	0	99	0						
1	1	157	58	58	58,0	1	58,0	2,4	
1	2	181	82	24	24,0	1	24,0	7,3	
1	3	198	99	17	17,0	1	17,0	11,4	
1	4	215	116	17	17,0	1	17,0	11,4	
1	5	229	130	14	14,0	1	14,0	14,6	
1	6	241	142	12	12,0	1	12,0	17,8	
3	9	273	174	32	10,7	1	10,7	20,7	
3	12	299	200	26	8,7	1	8,7	27,0	
3	15	331	232	32	10,7	1	10,7	20,7	
3	18	365	266	34	11,3	1	11,3	19,2	
3	21	405	306	40	13,3	1	13,3	15,6	
3	24	449	350	44	14,7	1	14,7	13,8	
3	27	492	393	43	14,3	1	14,3	14,2	
									20,6

km 0-070		Strona: zachodnia				Odl. od osi DS: 20 m			Próg 01
Liczba uderzeń	Suma liczby uderzeń	Odczyt [mm]	Penetracja całkowita [mm]	Penetracja pomiędzy odcz. [mm]	Zagłębienie na 1 uderzenie [mm/1uderz.]	Współczynnik 1 dla 8 kg 2 dla 4,6 kg	DCP [-]	CBR [%]	CBR średnie [%]
0	0	109	0						
1	1	155	46	46	46,0	1	46,0	3,2	
1	2	174	65	19	19,0	1	19,0	9,9	
1	3	186	77	12	12,0	1	12,0	17,8	
1	4	200	91	14	14,0	1	14,0	14,6	
1	5	211	102	11	11,0	1	11,0	19,9	
1	6	220	111	9	9,0	1	9,0	25,7	
3	9	238	129	18	6,0	1	6,0	43,2	
3	12	255	146	17	5,7	1	5,7	46,5	
3	15	271	162	16	5,3	1	5,3	50,3	
3	18	294	185	23	7,7	1	7,7	31,6	
3	21	316	207	22	7,3	1	7,3	33,5	
3	24	338	229	22	7,3	1	7,3	33,5	
3	27	361	252	23	7,7	1	7,7	31,6	
3	30	385	276	24	8,0	1	8,0	29,9	
3	33	408	299	23	7,7	1	7,7	31,6	
3	36	432	323	24	8,0	1	8,0	29,9	
3	39	457	348	25	8,3	1	8,3	28,4	
3	42	477	368	20	6,7	1	6,7	37,8	
3	45	496	387	19	6,3	1	6,3	40,4	
									34,6

km	0-030		Strona: wschodnia			Odl. od osi DS: 20 m		Próg 01	
Liczba uderzeń	Suma liczby uderzeń	Odczyt [mm]	Penetracja całkowita [mm]	Penetracja pomiędzy odcz. [mm]	Zagłębienie na 1 uderzenie [mm/1uderz.]	Współczynnik 1 dla 8 kg 2 dla 4,6 kg	DCP [-]	CBR [%]	CBR średnie [%]
0	0	105	0						
1	1	143	38	38	38,0	1	38,0	4,1	
1	2	165	60	22	22,0	1	22,0	8,2	
1	3	181	76	16	16,0	1	16,0	12,3	
1	4	193	88	12	12,0	1	12,0	17,8	
1	5	204	99	11	11,0	1	11,0	19,9	
1	6	212	107	8	8,0	1	8,0	29,9	
3	9	235	130	23	7,7	1	7,7	31,6	
3	12	253	148	18	6,0	1	6,0	43,2	
3	15	268	163	15	5,0	1	5,0	54,6	
3	18	284	179	16	5,3	1	5,3	50,3	
3	21	298	193	14	4,7	1	4,7	59,7	
3	24	315	210	17	5,7	1	5,7	46,5	
3	27	332	227	17	5,7	1	5,7	46,5	
3	30	351	246	19	6,3	1	6,3	40,4	
3	33	370	265	19	6,3	1	6,3	40,4	
3	36	390	285	20	6,7	1	6,7	37,8	
3	39	411	306	21	7,0	1	7,0	35,5	
3	42	429	324	18	6,0	1	6,0	43,2	
3	45	447	342	18	6,0	1	6,0	43,2	
3	48	466	361	19	6,3	1	6,3	40,4	
3	51	484	379	18	6,0	1	6,0	43,2	
3	54	505	400	21	7,0	1	7,0	35,5	

45,7

km	0-050		Strona: wschodnia			Odl. od osi DS: 20 m		Próg 01	
Liczba uderzeń	Suma liczby uderzeń	Odczyt [mm]	Penetracja całkowita [mm]	Penetracja pomiędzy odcz. [mm]	Zagłębienie na 1 uderzenie [mm/1uderz.]	Współczynnik 1 dla 8 kg 2 dla 4,6 kg	DCP [-]	CBR [%]	CBR średnie [%]
0	0	105	0						
1	1	145	40	40	40,0	1	40,0	3,8	
1	2	164	59	19	19,0	1	19,0	9,9	
1	3	177	72	13	13,0	1	13,0	16,1	
1	4	190	85	13	13,0	1	13,0	16,1	
1	5	199	94	9	9,0	1	9,0	25,7	
1	6	206	101	7	7,0	1	7,0	35,5	
3	9	226	121	20	6,7	1	6,7	37,8	
3	12	249	144	23	7,7	1	7,7	31,6	
3	15	276	171	27	9,0	1	9,0	25,7	
3	18	303	198	27	9,0	1	9,0	25,7	
3	21	330	225	27	9,0	1	9,0	25,7	
3	24	359	254	29	9,7	1	9,7	23,5	
3	27	381	276	22	7,3	1	7,3	33,5	
3	30	405	300	24	8,0	1	8,0	29,9	
3	33	428	323	23	7,7	1	7,7	31,6	
3	36	452	347	24	8,0	1	8,0	29,9	
3	39	473	368	21	7,0	1	7,0	35,5	

27,3

km	0-070		Strona: wschodnia			Odl. od osi DS: 20 m		Próg 01	
Liczba uderzeń	Suma liczby uderzeń	Odczyt [mm]	Penetracja całkowita [mm]	Penetracja pomiędzy odcz. [mm]	Zagłębienie na 1 uderzenie [mm/1uderz.]	Współczynnik 1 dla 8 kg 2 dla 4,6 kg	DCP [-]	CBR [%]	CBR średnie [%]
0	0	96	0						
1	1	151	55	55	55,0	1	55,0	2,5	
1	2	176	80	25	25,0	1	25,0	7,0	
1	3	192	96	16	16,0	1	16,0	12,3	
1	4	207	111	15	15,0	1	15,0	13,4	
1	5	218	122	11	11,0	1	11,0	19,9	
1	6	230	134	12	12,0	1	12,0	17,8	
3	9	268	172	38	12,7	1	12,7	16,6	
3	12	311	215	43	14,3	1	14,3	14,2	
3	15	352	256	41	13,7	1	13,7	15,1	
3	18	390	294	38	12,7	1	12,7	16,6	
3	21	422	326	32	10,7	1	10,7	20,7	
3	24	452	356	30	10,0	1	10,0	22,5	
3	27	480	384	28	9,3	1	9,3	24,6	

15,6

km	2+530		Strona: zachodnia			Odl. od osi DS: 20 m			Próg 19
Liczba uderzeń	Suma liczby uderzeń	Odczyt [mm]	Penetracja całkowita [mm]	Penetracja pomiędzy odcz. [mm]	Zagłębienie na 1 uderzenie [mm/1uderz.]	Współczynnik 1 dla 8 kg 2 dla 4,6 kg	DCP [-]	CBR [%]	CBR średnie [%]
0	0	103	0						
1	1	152	47	47	47,0	1	47,0	3,1	
1	2	174	69	22	22,0	1	22,0	8,2	
1	3	194	89	20	20,0	1	20,0	9,3	
1	4	206	101	12	12,0	1	12,0	17,8	
1	5	218	113	12	12,0	1	12,0	17,8	
1	6	227	122	9	9,0	1	9,0	25,7	
3	9	251	146	24	8,0	1	8,0	29,9	
3	12	272	167	21	7,0	1	7,0	35,5	
3	15	291	186	19	6,3	1	6,3	40,4	
3	18	308	203	17	5,7	1	5,7	46,5	
3	21	324	219	16	5,3	1	5,3	50,3	
3	24	342	237	18	6,0	1	6,0	43,2	
3	27	354	249	12	4,0	1	4,0	72,7	
3	30	369	264	15	5,0	1	5,0	54,6	
3	33	383	278	14	4,7	1	4,7	59,7	
3	36	397	292	14	4,7	1	4,7	59,7	
3	39	410	305	13	4,3	1	4,3	65,6	
3	42	422	317	12	4,0	1	4,0	72,7	
3	45	437	332	15	5,0	1	5,0	54,6	
3	48	456	351	19	6,3	1	6,3	40,4	

km	2+550		Strona: zachodnia			Odl. od osi DS: 20 m			Próg 19
Liczba uderzeń	Suma liczby uderzeń	Odczyt [mm]	Penetracja całkowita [mm]	Penetracja pomiędzy odcz. [mm]	Zagłębienie na 1 uderzenie [mm/1uderz.]	Współczynnik 1 dla 8 kg 2 dla 4,6 kg	DCP [-]	CBR [%]	CBR średnie [%]
0	0	112	0						
1	1	156	44	44	44,0	1	44,0	3,4	
1	2	187	75	31	31,0	1	31,0	5,3	
1	3	212	100	25	25,0	1	25,0	7,0	
1	4	228	116	16	16,0	1	16,0	12,3	
1	5	241	129	13	13,0	1	13,0	16,1	
1	6	251	139	10	10,0	1	10,0	22,5	
3	9	272	160	21	7,0	1	7,0	35,5	
3	12	291	179	19	6,3	1	6,3	40,4	
3	15	308	196	17	5,7	1	5,7	46,5	
3	18	325	213	17	5,7	1	5,7	46,5	
3	21	340	228	15	5,0	1	5,0	54,6	
3	24	352	240	12	4,0	1	4,0	72,7	
3	27	367	255	15	5,0	1	5,0	54,6	
3	30	389	277	22	7,3	1	7,3	33,5	
3	33	404	292	15	5,0	1	5,0	54,6	
3	36	421	309	17	5,7	1	5,7	46,5	
3	39	430	318	9	3,0	1	3,0	105,0	

km	2+570		Strona: zachodnia			Odl. od osi DS: 20 m			Próg 19
Liczba uderzeń	Suma liczby uderzeń	Odczyt [mm]	Penetracja całkowita [mm]	Penetracja pomiędzy odcz. [mm]	Zagłębienie na 1 uderzenie [mm/1uderz.]	Współczynnik 1 dla 8 kg 2 dla 4,6 kg	DCP [-]	CBR [%]	CBR średnie [%]
0	0	111	0						
1	1	154	43	43	43,0	1	43,0	3,5	
1	2	187	76	33	33,0	1	33,0	4,9	
1	3	209	98	22	22,0	1	22,0	8,2	
1	4	224	113	15	15,0	1	15,0	13,4	
1	5	243	132	19	19,0	1	19,0	9,9	
1	6	256	145	13	13,0	1	13,0	16,1	
3	9	286	175	30	10,0	1	10,0	22,5	
3	12	308	197	22	7,3	1	7,3	33,5	
3	15	328	217	20	6,7	1	6,7	37,8	
3	18	349	238	21	7,0	1	7,0	35,5	
3	21	367	256	18	6,0	1	6,0	43,2	
3	24	386	275	19	6,3	1	6,3	40,4	
3	27	403	292	17	5,7	1	5,7	46,5	
3	30	421	310	18	6,0	1	6,0	43,2	
3	33	439	328	18	6,0	1	6,0	43,2	
3	36	458	347	19	6,3	1	6,3	40,4	

km 2+530		Strona: wschodnia				Odl. od osi DS: 20 m			Próg 19
Liczba uderzeń	Suma liczby uderzeń	Odczyt [mm]	Penetracja całkowita [mm]	Penetracja pomiędzy odcz. [mm]	Zagłębienie na 1 uderzenie [mm/1uderz.]	Współczynnik 1 dla 8 kg 2 dla 4,6 kg	DCP [-]	CBR [%]	CBR średnie [%]
0	0	149	0						
1	1	202	53	53	53,0	1	53,0	2,7	
1	2	224	75	22	22,0	1	22,0	8,2	
1	3	242	93	18	18,0	1	18,0	10,6	
1	4	258	109	16	16,0	1	16,0	12,3	
1	5	274	125	16	16,0	1	16,0	12,3	
1	6	291	142	17	17,0	1	17,0	11,4	
3	9	331	182	40	13,3	1	13,3	15,6	
3	12	368	219	37	12,3	1	12,3	17,2	
3	15	402	253	34	11,3	1	11,3	19,2	
3	18	430	281	28	9,3	1	9,3	24,6	
3	21	458	309	28	9,3	1	9,3	24,6	
3	24	485	336	27	9,0	1	9,0	25,7	
3	27	508	359	23	7,7	1	7,7	31,6	

km 2+550		Strona: wschodnia				Odl. od osi DS: 20 m			Próg 19
Liczba uderzeń	Suma liczby uderzeń	Odczyt [mm]	Penetracja całkowita [mm]	Penetracja pomiędzy odcz. [mm]	Zagłębienie na 1 uderzenie [mm/1uderz.]	Współczynnik 1 dla 8 kg 2 dla 4,6 kg	DCP [-]	CBR [%]	CBR średnie [%]
0	0	112	0						
1	1	168	56	56	56,0	1	56,0	2,5	
1	2	188	76	20	20,0	1	20,0	9,3	
1	3	205	93	17	17,0	1	17,0	11,4	
1	4	219	107	14	14,0	1	14,0	14,6	
1	5	233	121	14	14,0	1	14,0	14,6	
1	6	243	131	10	10,0	1	10,0	22,5	
3	9	259	147	16	5,3	1	5,3	50,3	
3	12	278	166	19	6,3	1	6,3	40,4	
3	15	301	189	23	7,7	1	7,7	31,6	
3	18	323	211	22	7,3	1	7,3	33,5	
3	21	344	232	21	7,0	1	7,0	35,5	
3	24	360	248	16	5,3	1	5,3	50,3	
3	27	377	265	17	5,7	1	5,7	46,5	
3	30	394	282	17	5,7	1	5,7	46,5	
3	33	414	302	20	6,7	1	6,7	37,8	
3	36	433	321	19	6,3	1	6,3	40,4	
3	39	452	340	19	6,3	1	6,3	40,4	
3	42	473	361	21	7,0	1	7,0	35,5	
3	45	490	378	17	5,7	1	5,7	46,5	
3	48	506	394	16	5,3	1	5,3	50,3	

km 2+570		Strona: wschodnia				Odl. od osi DS: 20 m			Próg 19
Liczba uderzeń	Suma liczby uderzeń	Odczyt [mm]	Penetracja całkowita [mm]	Penetracja pomiędzy odcz. [mm]	Zagłębienie na 1 uderzenie [mm/1uderz.]	Współczynnik 1 dla 8 kg 2 dla 4,6 kg	DCP [-]	CBR [%]	CBR średnie [%]
0	0	113	0						
1	1	173	60	60	60,0	1	60,0	2,3	
1	2	196	83	23	23,0	1	23,0	7,7	
1	3	213	100	17	17,0	1	17,0	11,4	
1	4	231	118	18	18,0	1	18,0	10,6	
1	5	244	131	13	13,0	1	13,0	16,1	
1	6	257	144	13	13,0	1	13,0	16,1	
3	9	287	174	30	10,0	1	10,0	22,5	
3	12	311	198	24	8,0	1	8,0	29,9	
3	15	330	217	19	6,3	1	6,3	40,4	
3	18	348	235	18	6,0	1	6,0	43,2	
3	21	368	255	20	6,7	1	6,7	37,8	
3	24	389	276	21	7,0	1	7,0	35,5	
3	27	404	291	15	5,0	1	5,0	54,6	
3	30	424	311	20	6,7	1	6,7	37,8	
3	33	447	334	23	7,7	1	7,7	31,6	
3	36	472	359	25	8,3	1	8,3	28,4	
3	39	496	383	24	8,0	1	8,0	29,9	
3	42	519	406	23	7,7	1	7,7	31,6	